

DUNE: o maior experimento de física de neutrinos com argônio líquido

Ettore Segreto

Universidade Estadual de Campinas

EBN

Curitiba, 7 de Agosto 2025



Os neutrinos são evasivos

- Neutrinos *são as partículas mais abundantes do Universo, depois dos fótons*
- São partículas que poderiam explicar *porque o Universo existe ainda hoje*

Os neutrinos são evasivos

- Neutrinos *são as partículas mais abundantes do Universo, depois dos fótons*
- São partículas que poderiam explicar *porque o Universo existe ainda hoje*
- **Mas porque os físicos perceberam a necessidade da existencia dos neutrinos só em 1930??**
- **E porque descobrimos os neutrinos só em 1956??**
- **E porque os neutrinos carregam muitos mistérios ainda hoje?**

Neutrinos?



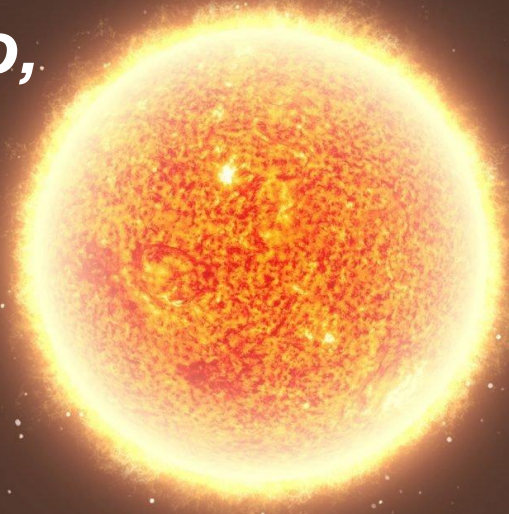
Cerca de 100 bilhoes de neutrinos produzidos no Sol travessam cada cm^2 do nosso corpo, cada segundo!

Neutrinos?



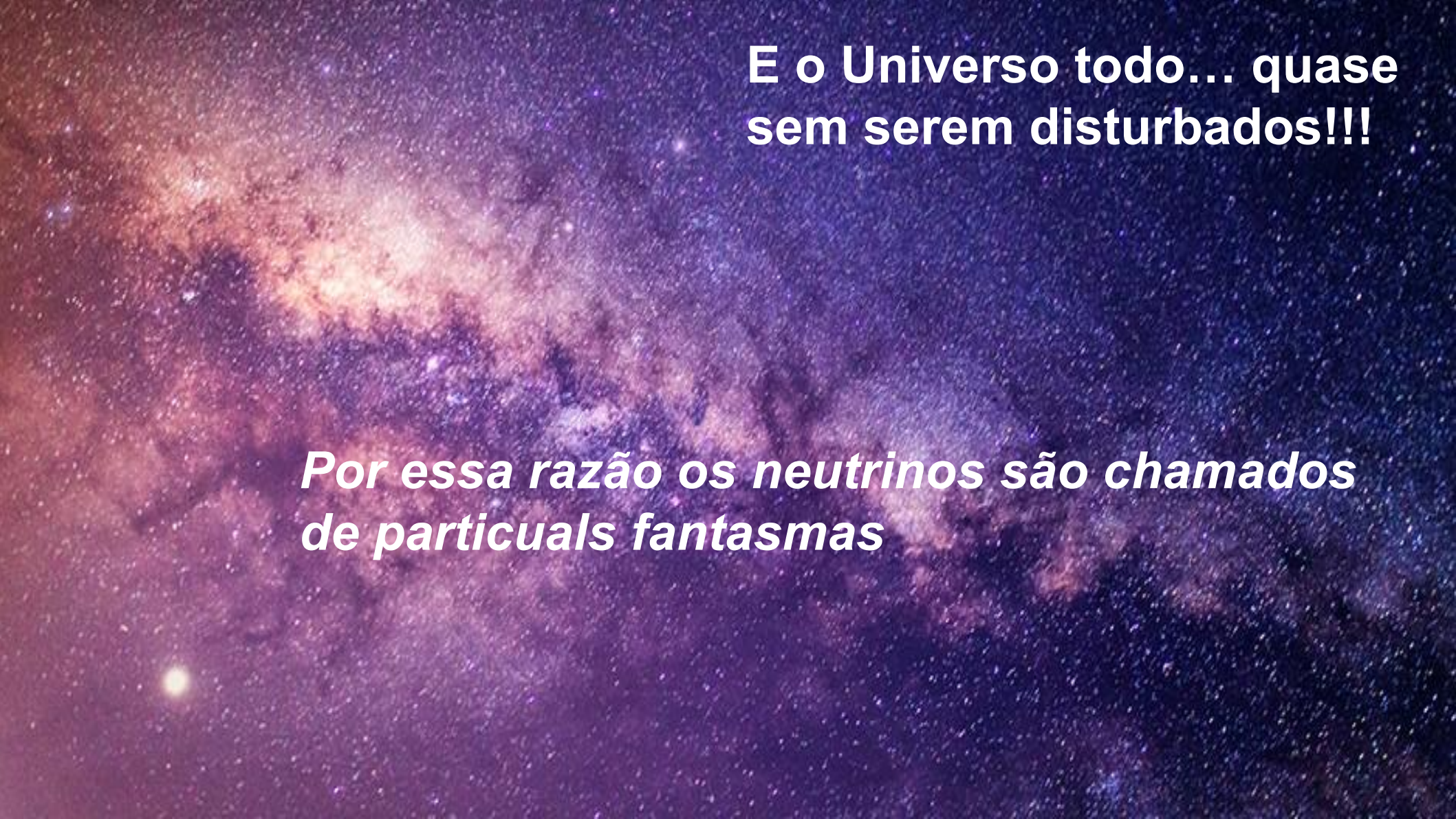
...e talvez um deles interage dentro do nosso corpo ao longo da nossa vida!

***Não travessam só o nosso corpo,
Mas a Terra inteira***



**E o Universo todo... quase
sem serem perturbados!!!**





**E o Universo todo... quase
sem serem perturbados!!!**

***Por essa razão os neutrinos são chamados
de particuals fantasmas***

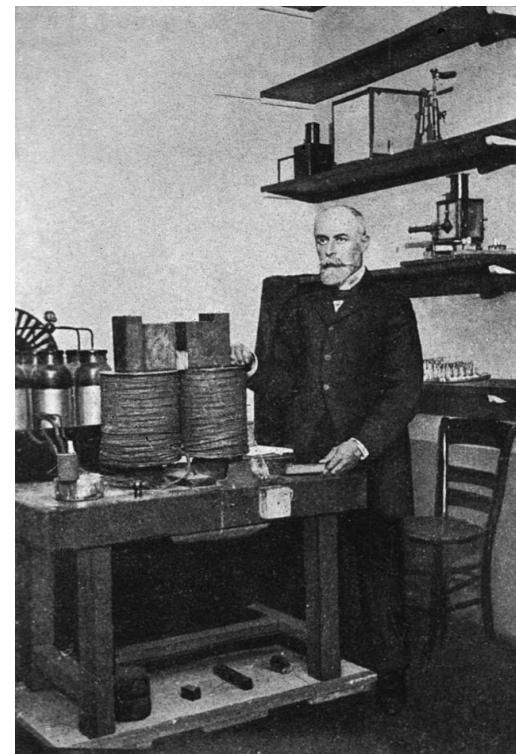
Vamos voltar no tempo 100 anos atras para entender como os fisicos descobriram os neutrinos



e vamos ver o que acontece no infinitamente pequeno e no decaimento dos núcleos radioativos

A radioatividade e os neutrinos

- Em 1896 Bequerel descobriu a radioatividade no Urânio (...mas foi mesmo ele que descobriu?)

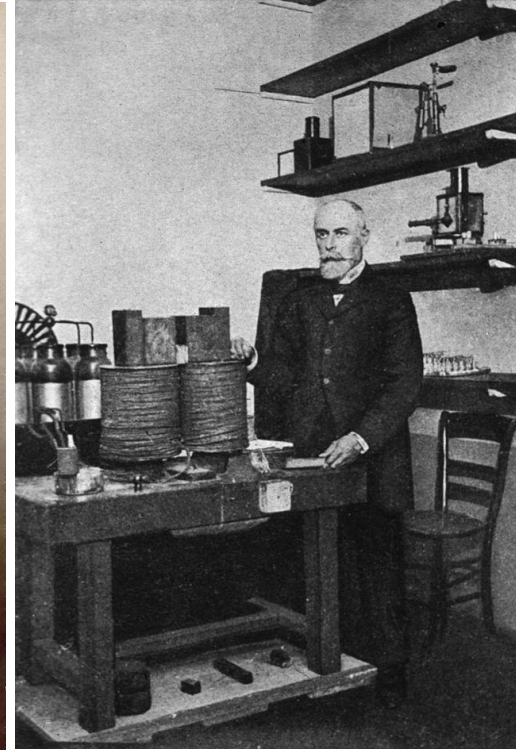
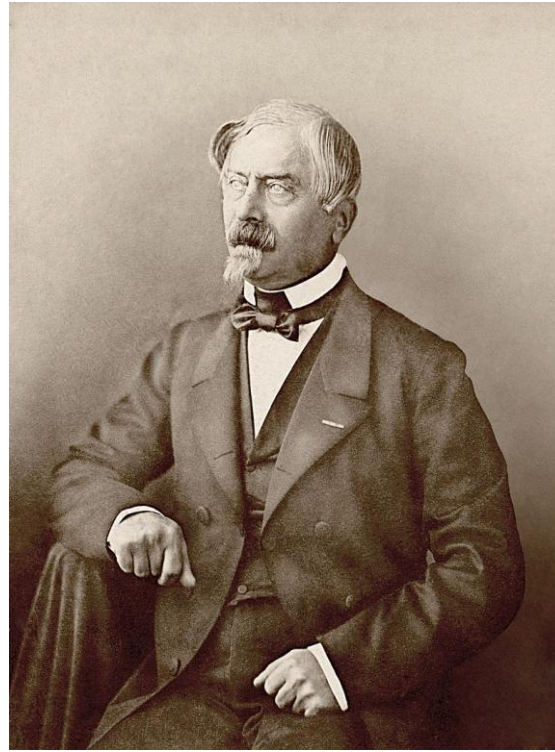


...Abel Niépce de Saint-Victor

- Claude Félix Abel Niépce de Saint-Victor (1805-1870) era um fotografo e experimentador francês;
- Por volta de 1850 Saint-Victor trabalhava no desenvolvimento da fotografia colorida usando sais metálicos sensíveis à luz, **incluindo sais de urânio**
- **Em 1857** ele observou que sais de uranio conseguiam impressionar emulsões fotográficas mesmo no escuro e depois de muitos meses;
- Saint-Victor entendeu que o uranio estava emitindo ***um novo tipo de radiação invisível ao olho***;
- " ... this persistent activity ... cannot be due to phosphorescence, for it [i.e., phosphorescence] would not last so long, according to the experiments of **Mr. Edmond Becquerel**; it is thus more likely that it is a radiation that is invisible to our eyes, as Mr. Léon Foucault believes,"

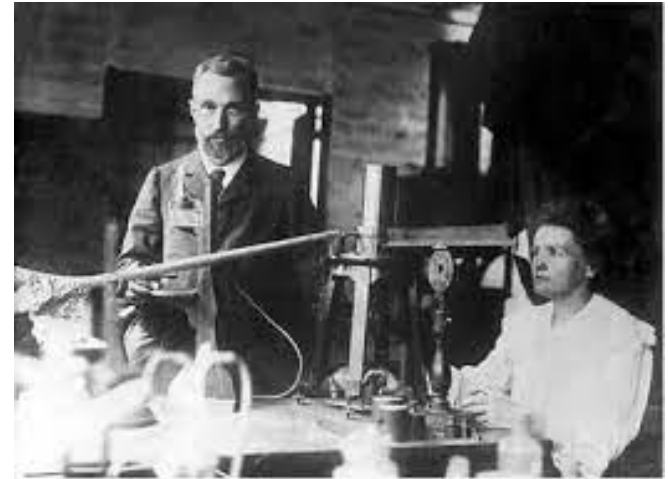
A radioatividade e os neutrinos

- Em 1896 Bequerel descobriu a radioatividade no Urânio (...mas foi mesmo ele que descobriu?)



A radioatividade e os neutrinos

- Em 1896 Bequerel descobriu a radioatividade no Urânio (...mas foi mesmo ele que descobriu?)
- Marie e Pierre Curie descobriram a radioatividade no Tório e nos novos elementos Polônio (Marie Curie era Polonesa) e Rádio

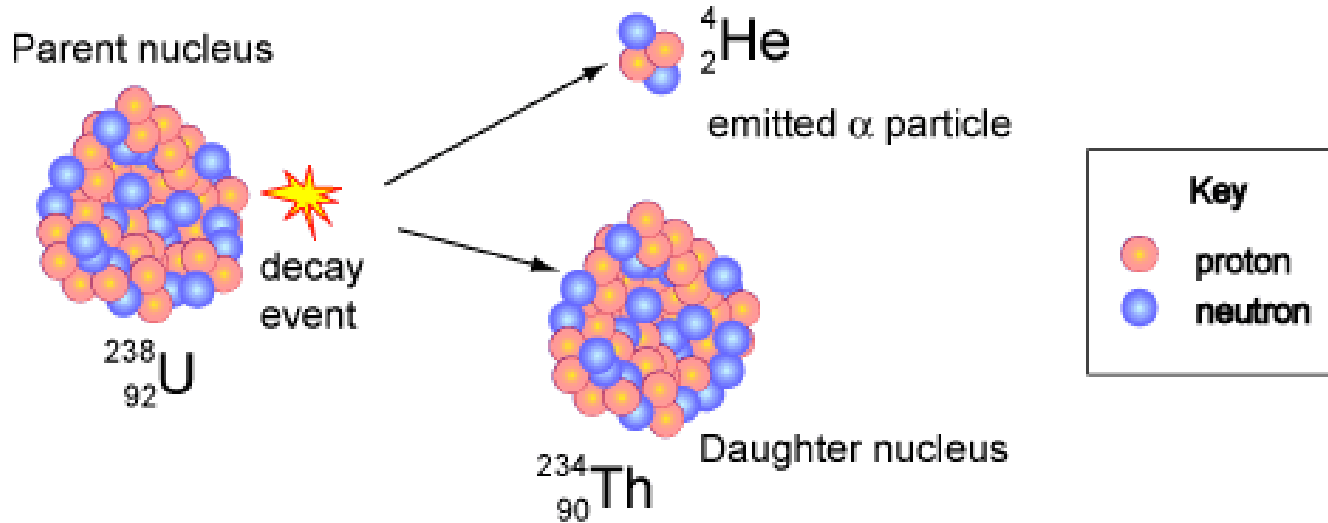


A radioatividade e os neutrinos

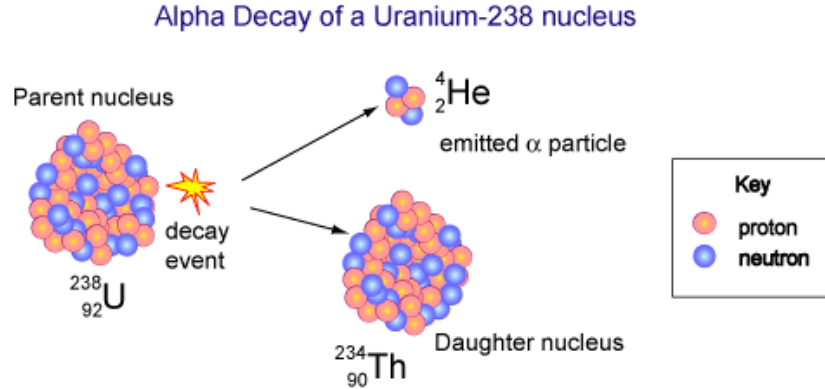
- Em 1896 Bequerel descobriu a radioatividade no Urânio (com alguma contribuição de um obscuro fotógrafo...)
- Marie e Pierre Curie descobriram a radioatividade no Tório e nos novos elementos Polônio (Marie Curie era Polonesa) e Rádio
- Em 1899 Rutherford classificou as emissões radioativas em α e β . De acordo com quanto penetram no alumínio (em em todos os materiais)
- Em 1900 foi descoberta também a emissão γ (ainda mais penetrante das outras duas)

Decaimento α

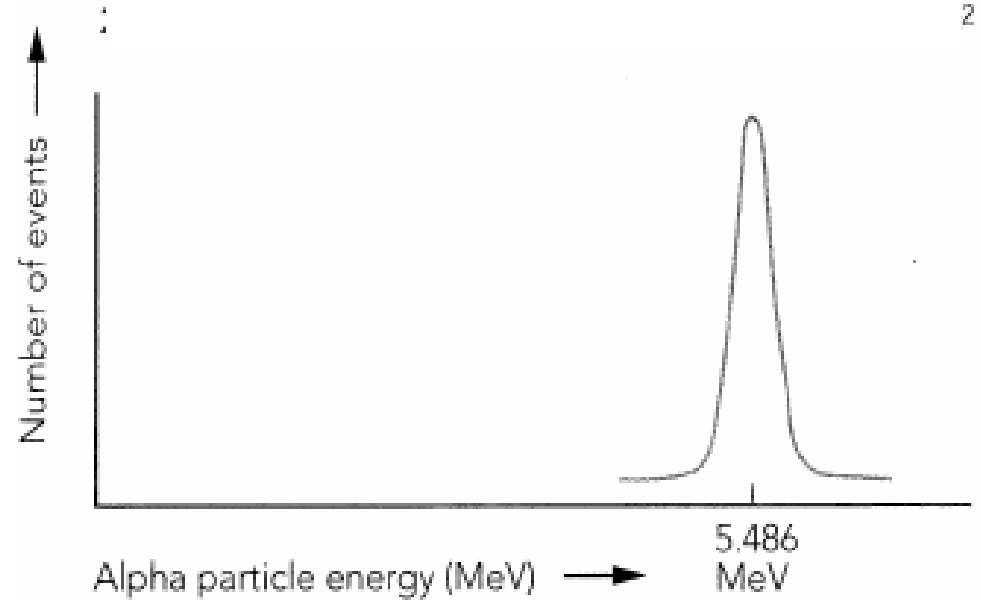
Alpha Decay of a Uranium-238 nucleus



Decaimento α

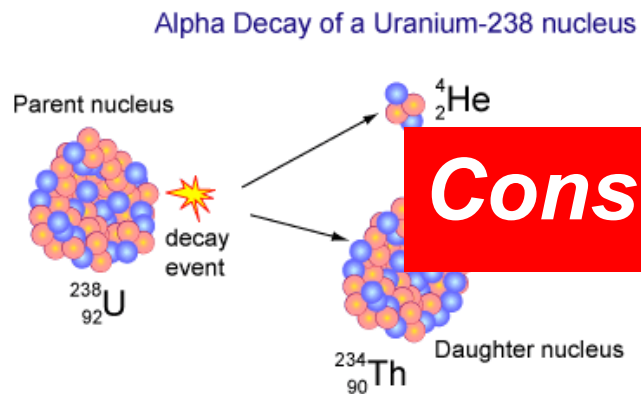


Energia da particula α

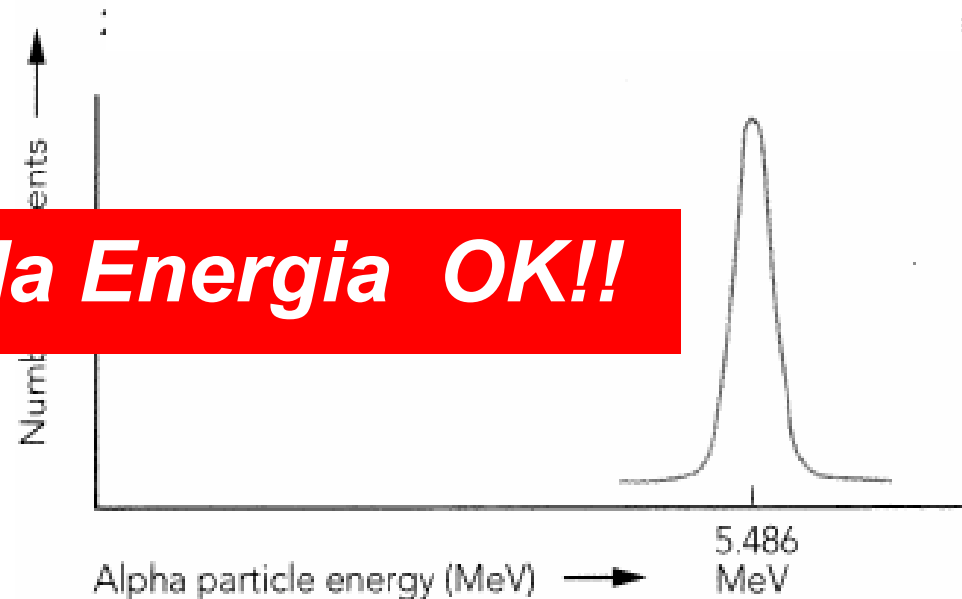


Decaimento α

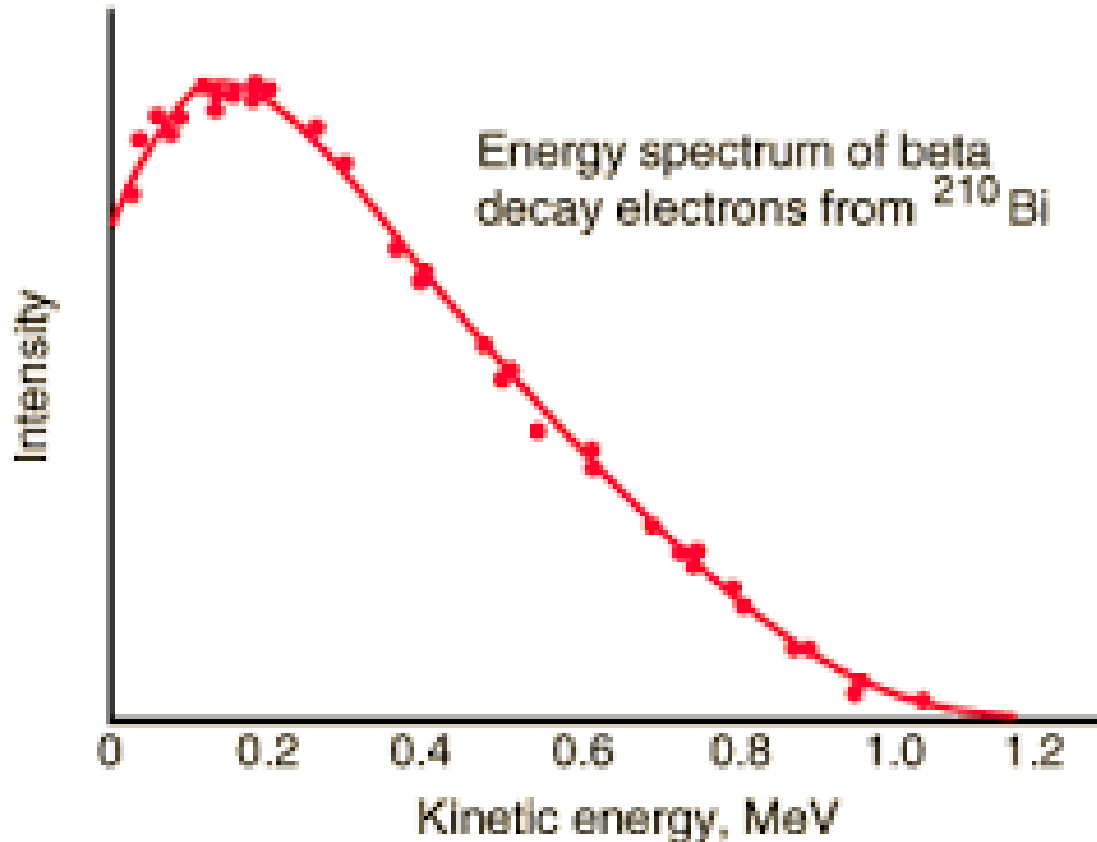
Energia da partícula α



Consevação da Energia OK!!

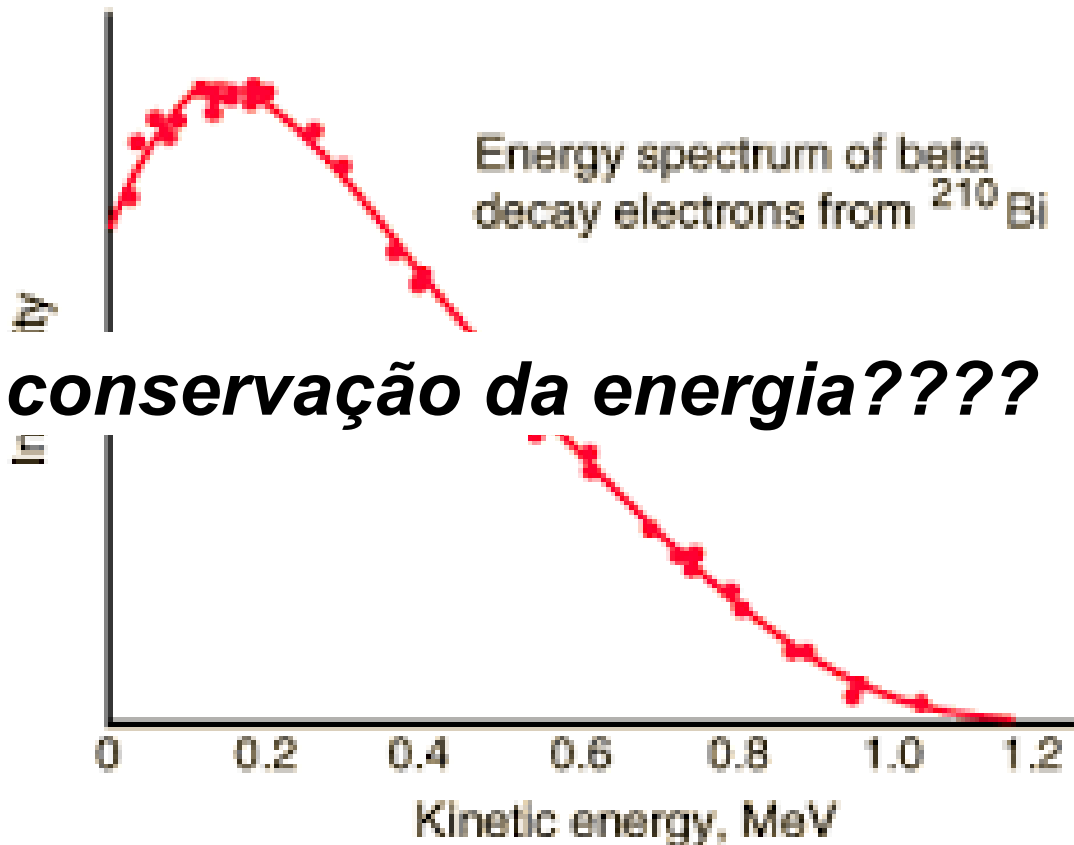


Decaimento β



As emissões β , que foram identificadas serem elétrones, apresentam um espectro contínuo de energia!!!

Decaimento β



Hipothese do Pauli: a particula fantasma!

Physikalisches Institut
der Eidg. Technischen Hochschule
Zürich

Zürich, 4. Dez. 1930
Gloriastrasse

Liebe Radioaktive Damen und Herren,

Wie der Ueberbringer dieser Zeilen, den ich huldvollst anzuhören bitte, Ihnen des näheren auseinandersetzen wird, bin ich angesichts der "falschen" Statistik der N- und Li-6 Kerne, sowie des kontinuierlichen beta-Spektrums auf einen verzweifelten Ausweg verfallen um den "Wechselsatz" (1) der Statistik und den Energiesatz zu retten. Nämlich die Möglichkeit, es könnten elektrisch neutrale Teilchen, die ich Neutronen nennen will, in den Kernen existieren, welche den Spin $1/2$ haben und das Ausschliessungsprinzip befolgen und sich von Lichtquanten ausserdem noch dadurch unterscheiden, dass sie nicht mit Lichtgeschwindigkeit laufen. Die Masse der Neutronen müsste von derselben Grossenordnung wie die Elektronenmasse sein und jedenfalls nicht grösser als $0,01$ Protonenmasse.- Das kontinuierliche beta-Spektrum wäre dann verständlich unter der Annahme, dass beim beta-Zerfall mit dem Elektron jeweils noch ein Neutron emittiert wird, derart, dass die Summe der Energien von Neutron und Elektron konstant ist.

[This is a translation of a machine-typed copy of a letter that Wolfgang Pauli sent to a group of physicists meeting in Tübingen in December 1930. Pauli asked a colleague to take the letter to the meeting, and the bearer was to provide more information as needed.]

Copy/Dec. 15, 1956 PM

Open letter to the group of radioactive people at the Gauverein meeting in Tübingen.

Copy

Physics Institute of
the ETH Zürich

Zürich, Dec. 4, 1930

Dear Radioactive Ladies and Gentlemen,

As the bearer of these lines, to whom I graciously ask you to listen, will explain to you in more detail, because of the "wrong" statistics of the N- and Li-6 nuclei and the continuous beta spectrum, I have hit upon a desperate remedy to save the "exchange theorem" (1) of statistics and the law of conservation of energy. Namely, the possibility that in the nuclei there could exist electrically neutral particles, which I will call neutrons, that have spin $1/2$ and obey the exclusion principle and that further differ from light quanta in that they do not travel with the velocity of light. The mass of the neutrons should be of the same order of magnitude as the electron mass and in any event not larger than 0.01 proton mass. - The continuous beta spectrum would then make sense with the assumption that in beta decay, in addition to the electron, a neutron is emitted such that the sum of the energies of neutron and electron is constant.

Now it is also a question of which forces act upon neutrons. For me, the most likely model for the neutron seems to be, for wave-mechanical reasons (the bearer of these lines knows more), that the neutron at rest is a magnetic dipole with a certain moment μ . The experiments seem to require that the ionizing effect of such a neutron can not be bigger than the one of a gamma-ray, and then μ is probably not allowed to be larger than $e \cdot (10^{-13} \text{ cm})$.

But so far I do not dare to publish anything about this idea, and trustfully turn first to you, dear radioactive people, with the question of how likely it is to find experimental evidence for such a neutron if it would have the same or perhaps a 10 times larger ability to get through [material] than a gamma-ray.

I admit that my remedy may seem almost improbable because one probably would have seen those neutrons, if they exist, for a long time. But nothing ventured, nothing gained, and the seriousness of the situation, due to the continuous structure of the beta spectrum, is illuminated by a remark of my honored predecessor, Mr Debye, who told me recently in Bruxelles: "Oh, It's better not to think about this at all, like new taxes." Therefore one should seriously discuss every way of rescue. Thus, dear radioactive people, scrutinize and judge. - Unfortunately, I cannot personally appear in Tübingen since I am indispensable here in Zürich because of a ball on the night from December 6 to 7. With my best regards to you, and also to Mr. Back, your humble servant

signed W. Pauli

[Translation: Kurt Riesselmann]

[This is a translation of a machine-typed copy of a letter that Wolfgang Pauli sent to a group of physicists meeting in Tübingen in December 1930. Pauli asked a colleague to take the letter to the meeting, and the bearer was to provide more information as needed.]

Copy/Dec. 15, 1956 PM

Open letter to the group of radioactive people at the Gauverein meeting in Tübingen.

Copy

Physics Institute of
the ETH Zürich

Zürich, Dec. 4, 1930

Dear Radioactive Ladies and Gentlemen,

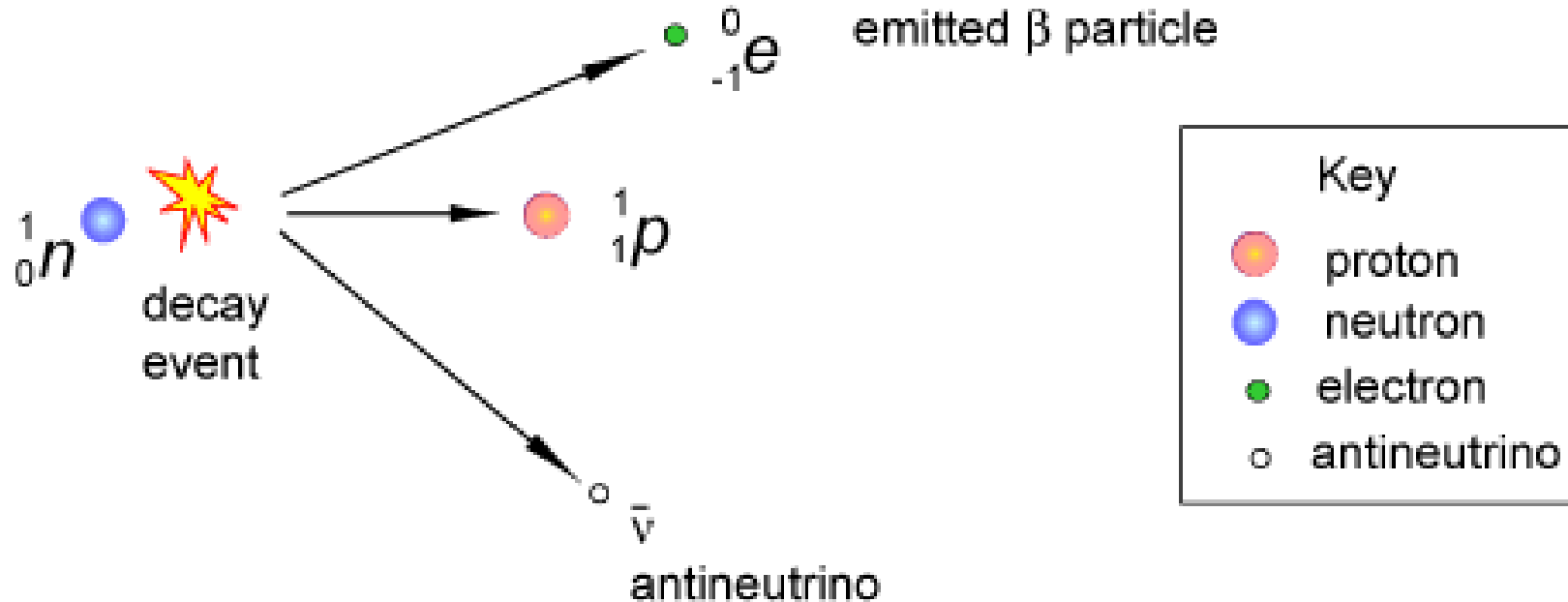
As the bearer of these lines, to whom I graciously ask you to listen, will explain to you in more detail, because of the "wrong" statistics of the N- and Li-6 nuclei and the continuous beta spectrum, I have hit upon a desperate remedy to save the "exchange theorem" (1) of statistics and the law of conservation of energy. Namely, the possibility that in the nuclei there could exist electrically neutral particles, which I will call neutrons, that have spin 1/2 and obey the exclusion principle and that further differ from light quanta in that they do not travel with the velocity of light. The mass of the neutrons should be of the same order of magnitude as the electron mass and in any event not larger than 0.01 proton mass. - The continuous beta spectrum would then make sense with the assumption that in beta decay, in addition to the electron, a neutron is emitted such that the sum of the energies of neutron and electron is constant.

Now it is also a question of which forces act upon neutrons. For me, the most likely model for the neutron seems to be, for wave-mechanical reasons (the bearer of these lines knows more), that the neutron at rest is a magnetic dipole with a certain moment μ . The experiments seem to require that the ionizing effect of such a neutron can not be bigger than the one of a gamma-ray, and then μ is probably not allowed to be larger than $e \cdot (10^{-13} \text{ cm})$.

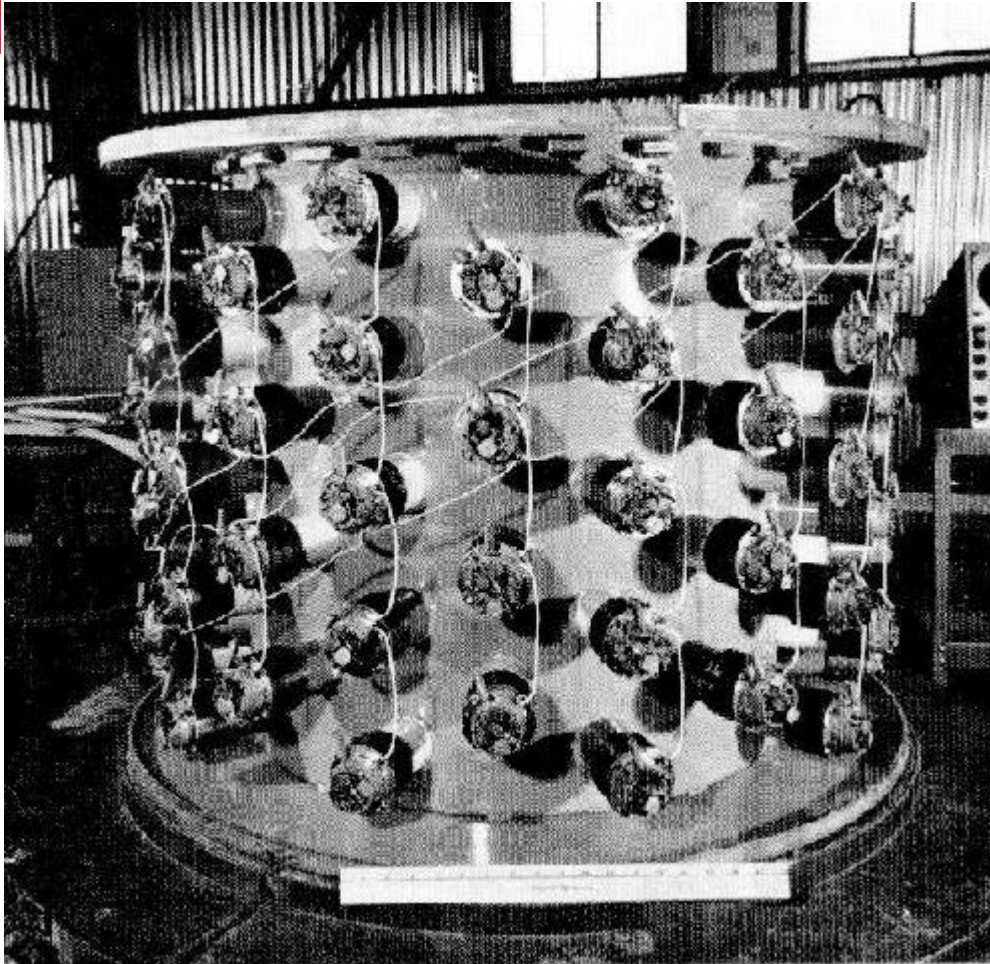
I admit that my remedy may seem almost improbable because one probably would have seen those neutrons, if they exist, for a long time. But nothing ventured, nothing gained, and the seriousness of the situation, due to the continuous structure of the beta spectrum, is illuminated by a remark of my honored predecessor, Mr. Debye, who told me recently in Bruxelles: "Oh, It's better not to think about this at all, like new taxes."

A Teoria de Fermi do decaimento β (1934)

Beta Decay of a Neutron



A descoberta do neutrino



Mas neutrinos foram descobertos só em 1956 por Reines e Cowen!

Premio Nobel 1995

Em 1976 Lederman, Schwartz e Steinberger descobriram um segundo tipo de neutrino o ν_μ

Premio Nobel 1988

Em 2000 foi descoberto um terceiro tipo de neutrino o ν_τ (DONUT Coll. Fermilab)

O neutrino descoberto por Reines e Cowan é o neutrino ν_e

Raines e Cowen



Inverse beta decay:



- Pensaram em usar **uma bomba atômica** como fonte de neutrinos (do tamanho da bomba usada em Hiroshima)
- O chefe da divisão de física (Kellogg) de Los Alamos convenceu em usar um reator nuclear
- O alvo dos neutrino eram dois tanque de água ~ 200 kg + 40 kg de ClCd_2 com 4 camadas de cintiladores em

Raines e Cowen



é um tipo de evento paranormal que se manifesta em um ambiente no qual existem ocorrências físicas, tais quais, chuva de pedras, movimentação, aparecimento e desaparecimento de objetos, sons, pirogenia, luzes, entre outras. Pode envolver até ataques físicos (Wikipedia)

Inverse beta decay:



- Pensaram em usar **uma bomba atômica** como fonte de neutrinos (do tamanho da bomba usada em Hiroshima)
- O chefe da divisão de física (Kellogg) de Los Alamos convenceu em usar um reator nuclear
- O alvo dos neutrino eram dois tanque de água ~ 200 kg + 40 kg de ClCd_2 com 4 camadas de cintiladores em

Três partículas fantasmas



- ***Tres neutrinos. Cada um ligado e associado com um dos tres leptons (Electron, Muon e Tau)***
- ***Sem carga eletrica***
- ***Interagem muito pouco com as outras particulas, só atraves da interação fraca***
- ***Sem massa (quase...)***

ONDE SÃO PRODUZIDOS



Big Bang

10^{-4} eV



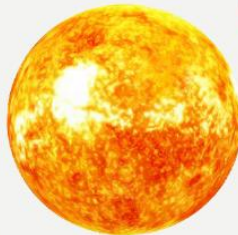
Reatores

~ MeV



Terra

~ 4MeV



Sol

0.1 → 14 MeV



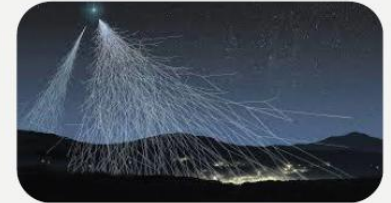
Supernova

10 → 50 MeV



Aceleradores

1 → 20 GeV



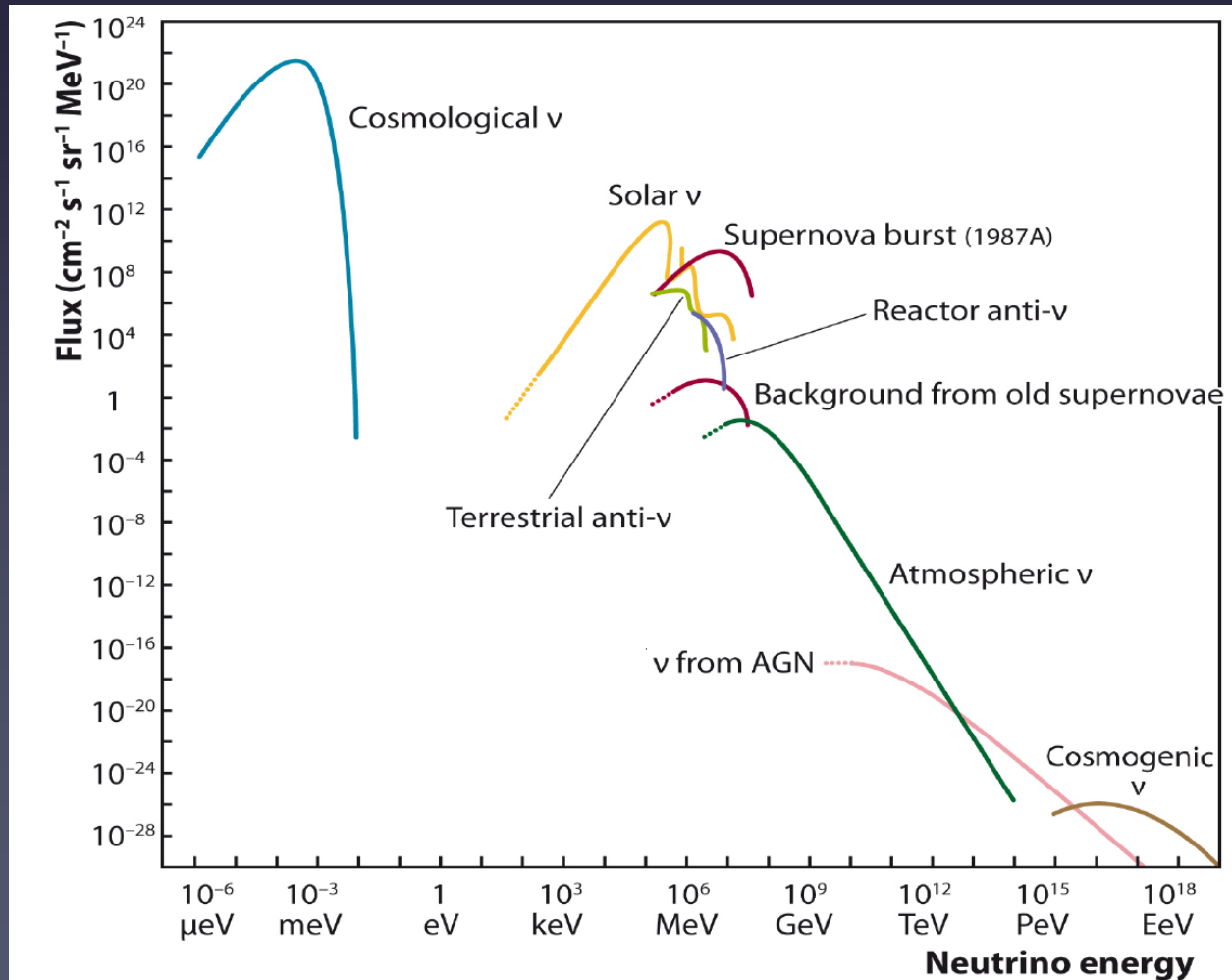
Atmosféricos

100 MeV → 10^{20} GeV

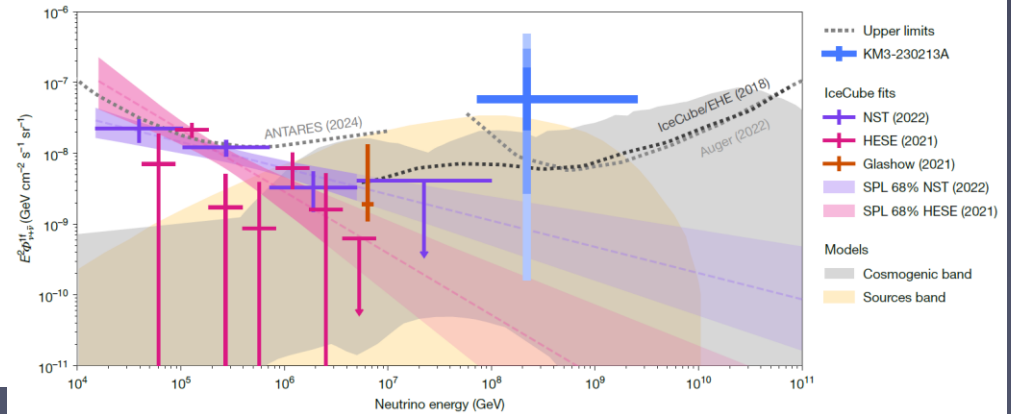
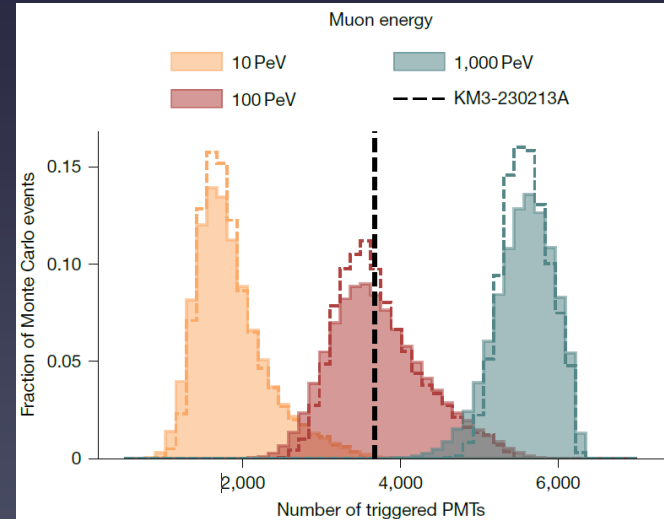
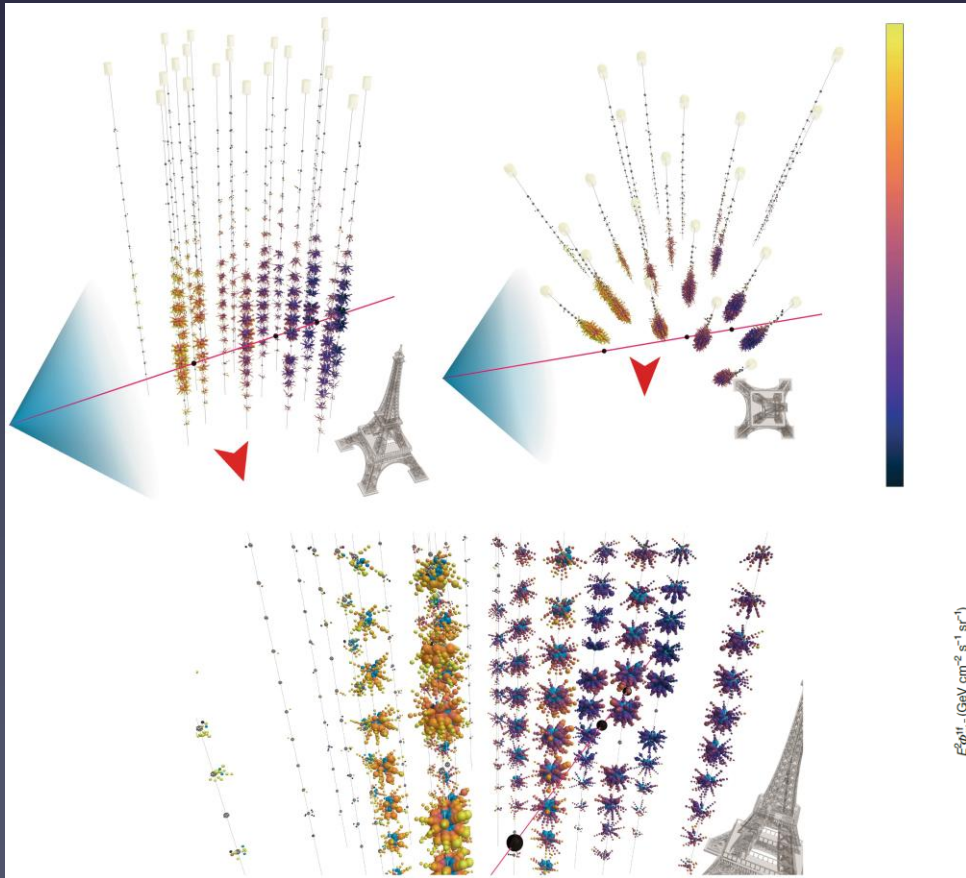


Credit: A.A. Machado

Neutrinos reaching the Earth



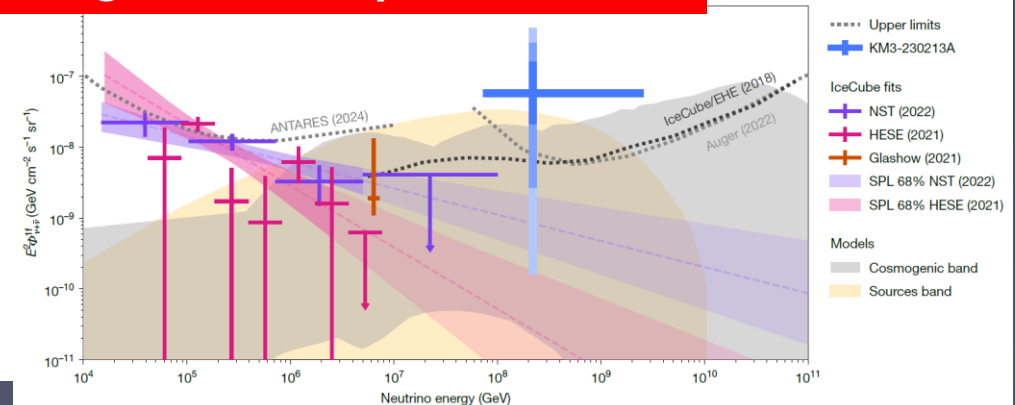
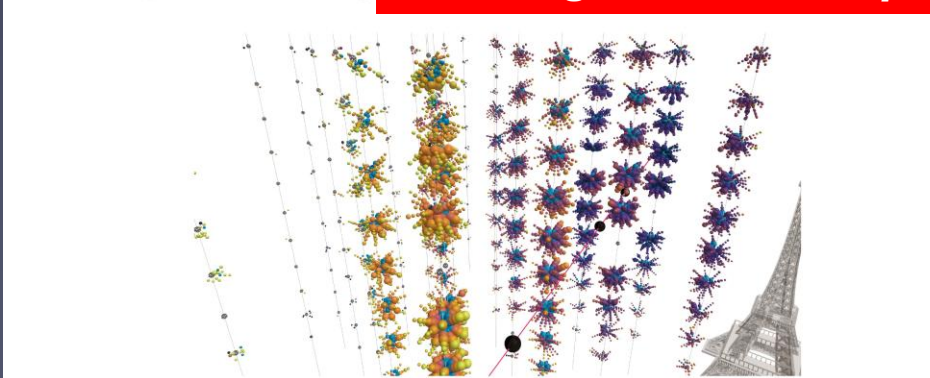
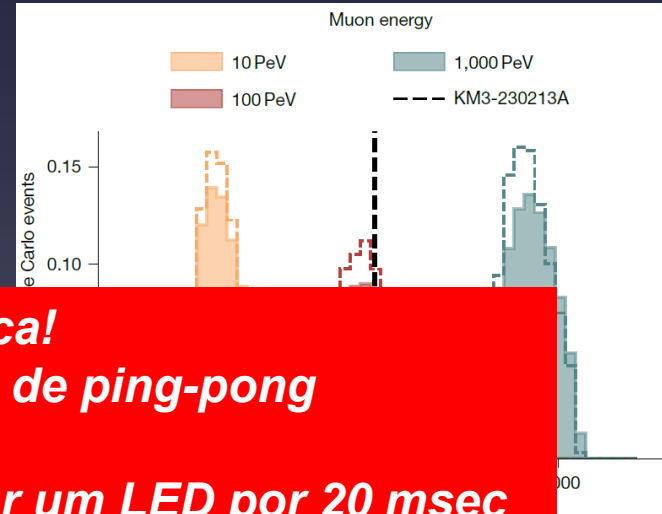
>120 PeV neutrino @ KM3net



>120 PeV neutrino @ KM3net



- *É uma energia macroscópica!*
- *É a energia de uma bolinha de ping-pong*
- *Um projétil de Nerf*
- *Energia suficiente para ligar um LED por 20 msec*

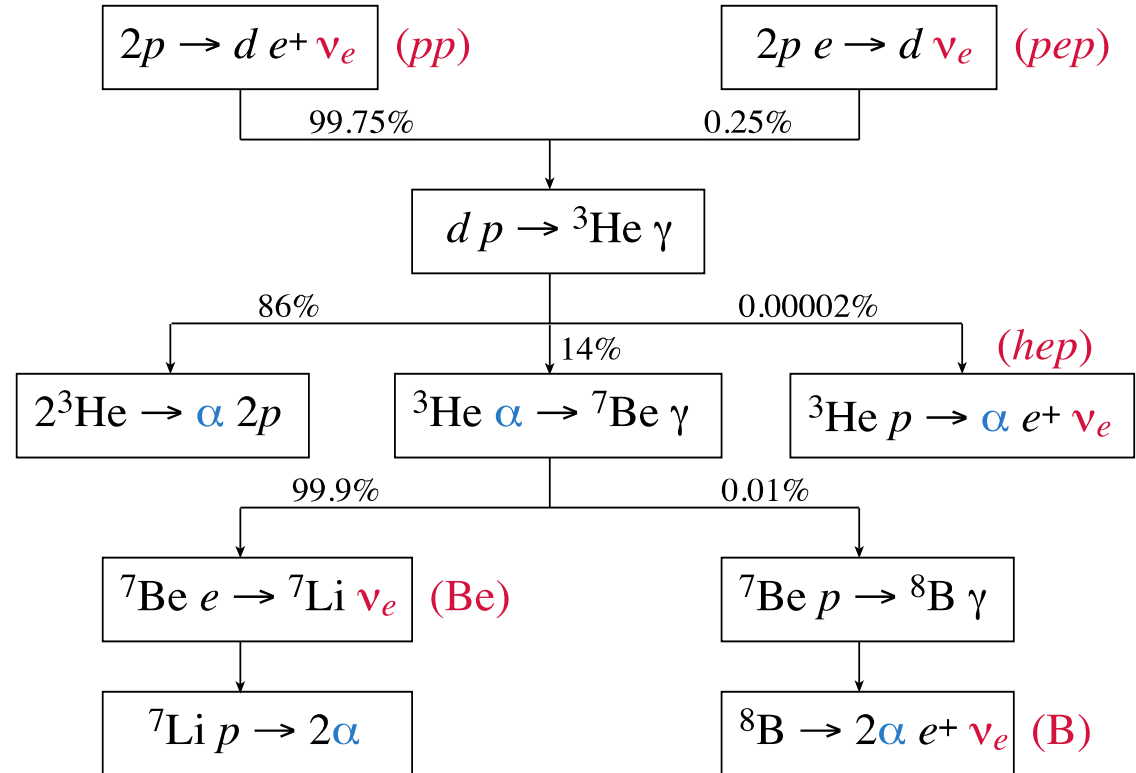


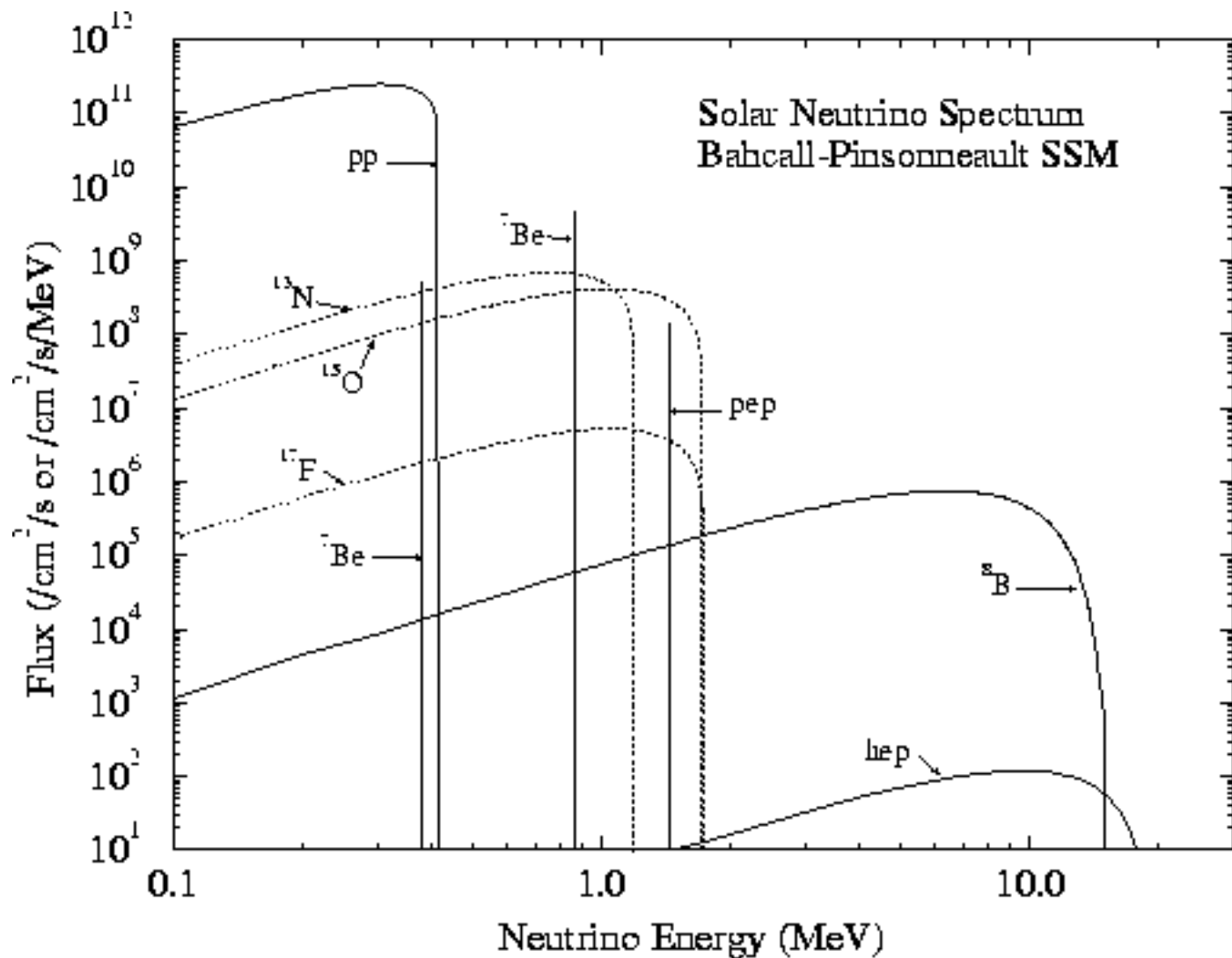
A anomalia do neutrino solar

Neutrinos são produzidos no centro do Sol por meio dessas reações

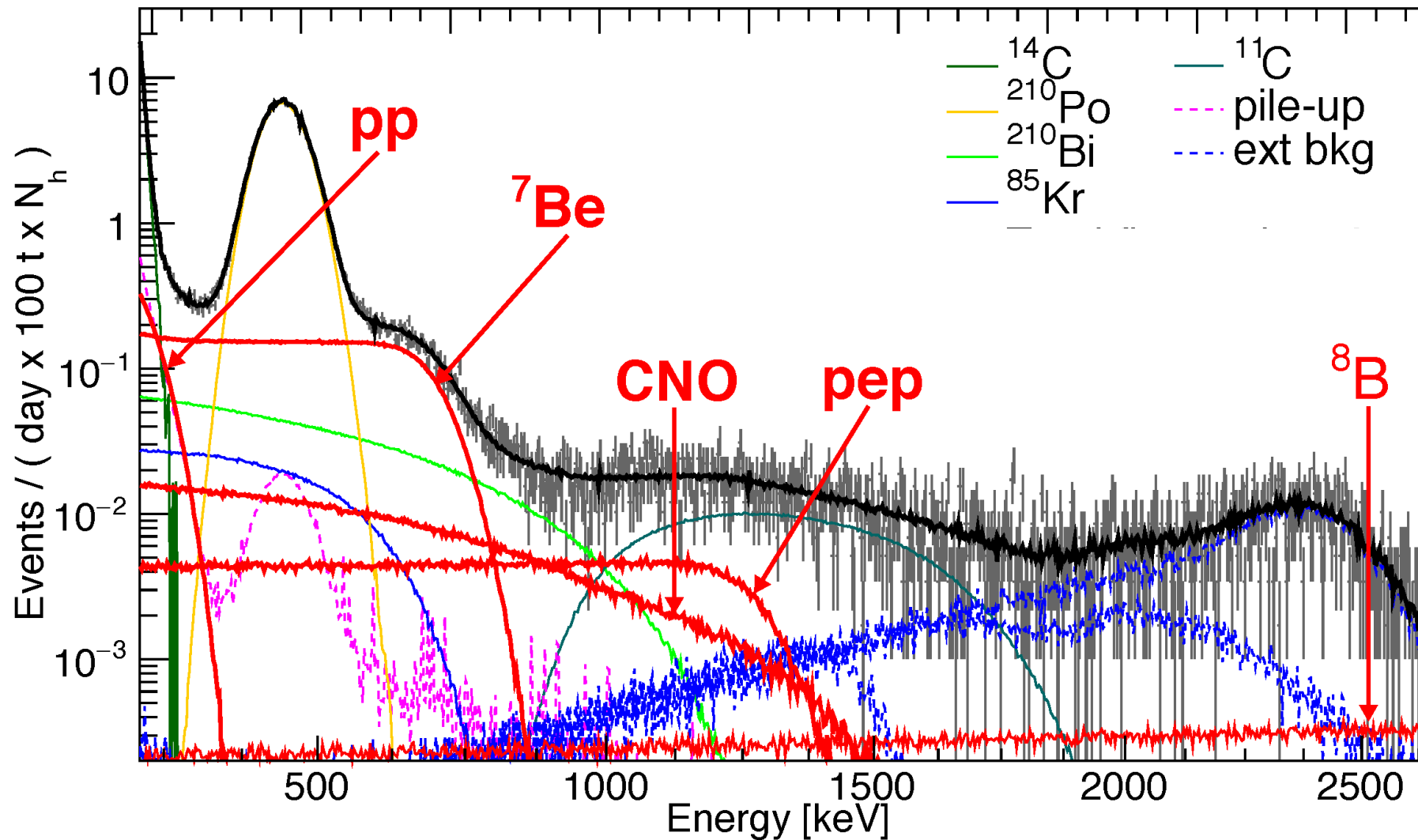
Carregam informações do estado do coração do Sol e levam 8 minutos para chegarem na Terra

Os ftons levam 10,000 anos para chegar a superfície do Sol!!!





BOREXINO experiment



A anomalia do neutrino solar

No final dos anos 60 Davis fez um experimento para detectar neutrinos do Sol e se deu conta que eram muito menos que o esperado

Este resultado foi confirmado por muito outros experimentos!!!

Expected signal

| Experiment | Reaction | E_{th} (MeV) | ν fluxes | Running time | R^{exp} | R^{BP00} |
|------------|---|---------------------------|----------------------------|-----------------|------------------|-------------------|
| Homestake | $\nu_e {}^{37}\text{Cl} \rightarrow {}^{37}\text{Ar} e$ | 0.814 | mainly ${}^8\text{B}$ | 1970 – 1994 | 2.56 ± 0.23 | 7.6 ± 1.3 |
| SAGE | $\nu_e {}^{71}\text{Ga} \rightarrow {}^{71}\text{Ge} e$ | 0.233 | all | 1990 – 2003 | 69.1 ± 5.7 | 128 ± 9 |
| GALLEX | | | | 1991 – 1997 | 77.5 ± 7.7 | |
| GNO | | | | 1998 – 2003 | 62.9 ± 5.9 | |
| Borexino | $\nu e \rightarrow \nu e$ | 0.862 | ${}^7\text{Be}$ | 2007 – 2008 | 49 ± 5 | 74 ± 4 |
| | | 3.0 | | 2007 – 2009 | 2.4 ± 0.4 | |
| Kamiokande | $\nu e \rightarrow \nu e$ | 6.75 | ${}^8\text{B}, \text{hep}$ | 1987 – 1995 | 2.80 ± 0.36 | 5.05 ± 0.9 |
| SK | | 4.75 | | 1996 – 2001 | 2.35 ± 0.06 | |
| SNO | | 5.2 | | 1999 – 2003 | 2.31 ± 0.21 | |
| | | $\nu_e d \rightarrow ppe$ | | | 6.9 | |
| | $\nu d \rightarrow pn\nu$ | 2.2 | | 5.17 ± 0.38 | | |

Experimental value

A anomalia do neutrino solar

No final dos anos 60 Davis fez um experimento para detectar neutrinos do Sol e se deu conta que eram muito menos que o esperado

Este resultado foi confirmado por muito outros experimentos!!!

Expected signal

| Experiment | Reaction | E_{th} (MeV) | ν fluxes | Running time | R^{exp} | R^{BP00} |
|------------|---|---------------------------|----------------------------|-----------------|------------------|-------------------|
| Homestake | $\nu_e {}^{37}\text{Cl} \rightarrow {}^{37}\text{Ar} e$ | 0.814 | mainly ${}^8\text{B}$ | 1970 – 1994 | 2.56 ± 0.23 | 7.6 ± 1.3 |
| SAGE | $\nu_e {}^{71}\text{Ga} \rightarrow {}^{71}\text{Ge} e$ | 0.233 | all | 1990 – 2003 | 69.1 ± 5.7 | 128 ± 9 |
| GALLEX | | | | 1991 – 1997 | 77.5 ± 7.7 | |
| GNO | | | | 1998 – 2003 | 62.9 ± 5.9 | |
| Borexino | $\nu e \rightarrow \nu e$ | 0.862 | ${}^7\text{Be}$ | 2007 – 2008 | 49 ± 5 | 74 ± 4 |
| | | 3.0 | | 2007 – 2009 | 2.4 ± 0.4 | |
| Kamiokande | $\nu e \rightarrow \nu e$ | 6.75 | ${}^8\text{B}, \text{hep}$ | 1987 – 1995 | 2.80 ± 0.36 | 5.05 ± 0.9 |
| SK | | 4.75 | | 1996 – 2001 | 2.35 ± 0.06 | |
| SNO | | 5.2 | | 1999 – 2003 | 2.31 ± 0.21 | |
| | | $\nu_e d \rightarrow ppe$ | | | 6.9 | |
| | $\nu d \rightarrow pn\nu$ | 2.2 | | 5.17 ± 0.38 | | |

R. Davis Jr recebe o Premio Nobel em 2002

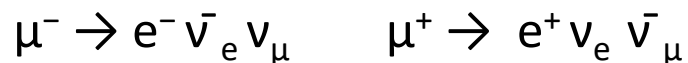
Experimental value

A anomalia do neutrino atmosferico

- A Terra é constantemente atingida por raios cosmicos (principalmente protons e He)
- As interações de raios cosmicos produzem Pions (e alguns Kaons)
- Os pions carregados decaem produzindo muons e neutrinos



- Os muons decaem produzindo electrons e neutrinos:



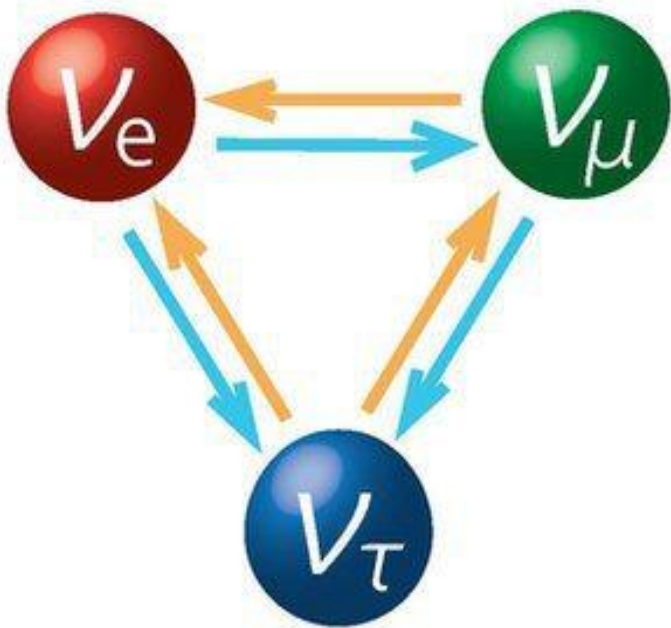
- Seria esperado detectar, em media, dois neutrino μ cada neutrino e. Entretanto a razão é 1!!!



...e agora????



Oscilações de neutrinos

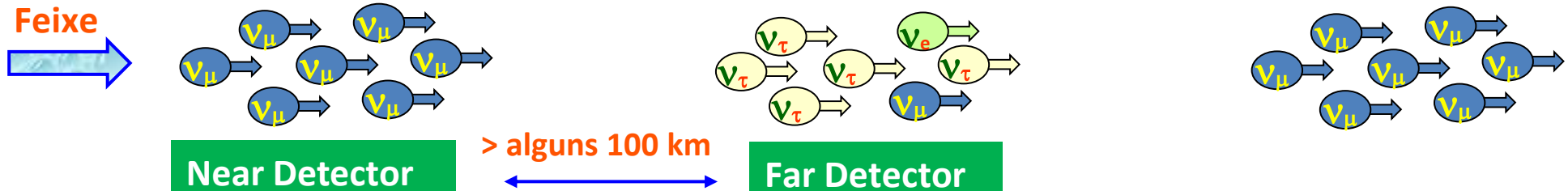
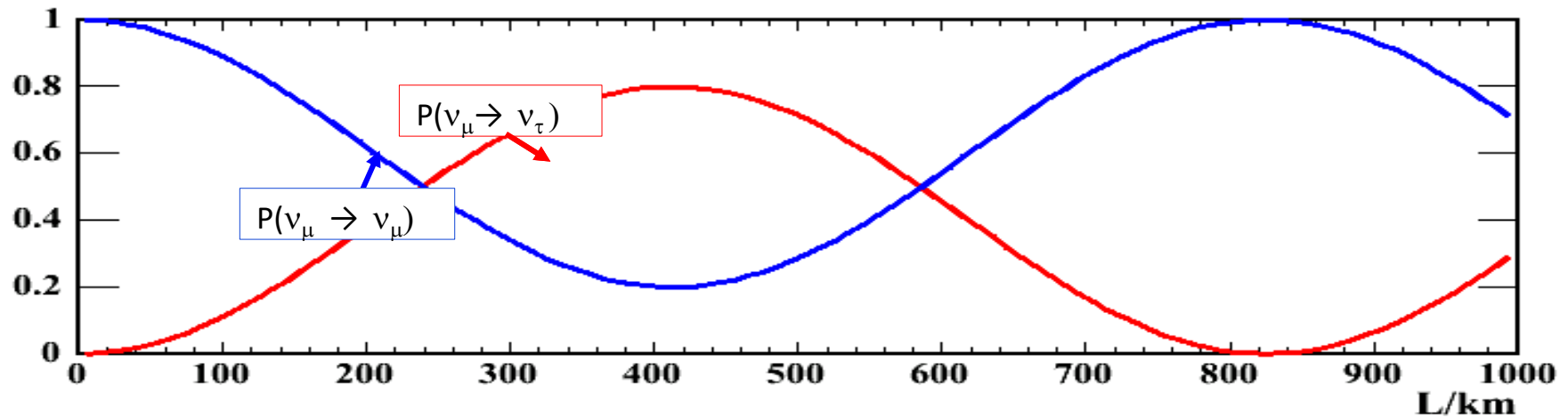


- Os tres neutrinos tem uma massa muito pequena, mas não zero **como previsto do Modelo Padrão das Partículas**
- Esta circunstancia permite aos neutrinos de oscillar
- Neutrinos produzidos como, por exemplo, neutrinos ν_μ podem ser detectados como neutrinos ν_e

Oscilações Neutrinos

- a probabilidade de oscilação

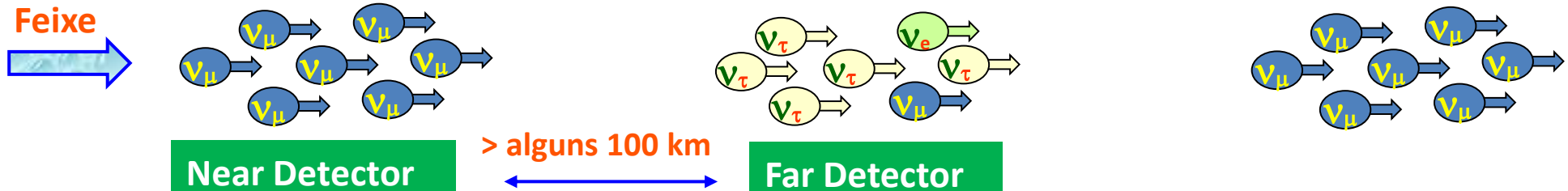
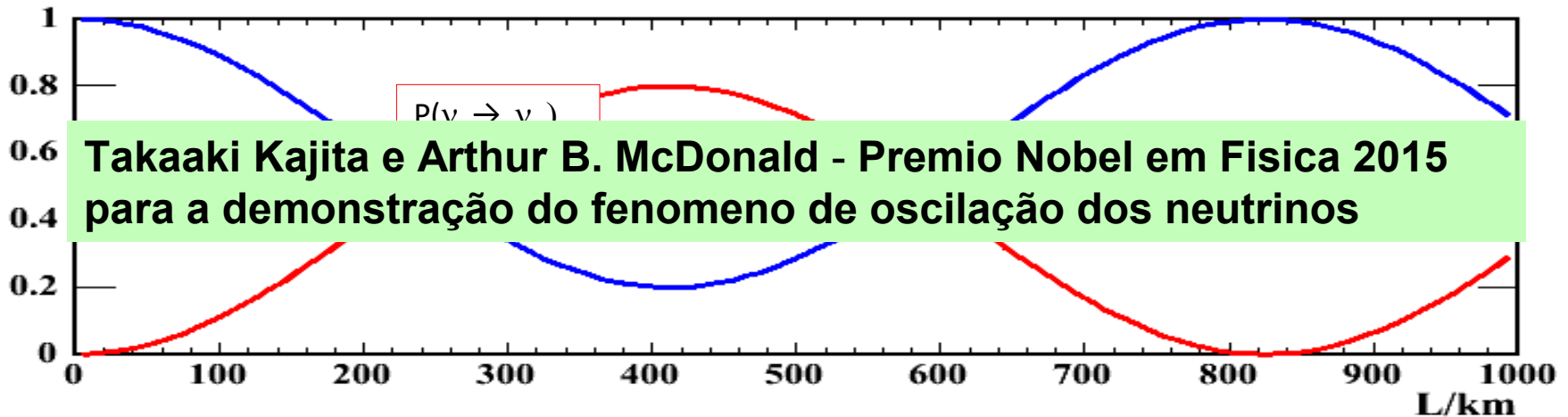
$$P(\nu_\mu \rightarrow \nu_\tau) = \sin^2(2\theta) \sin^2\left(1.27 \frac{\Delta m^2 [\text{eV}^2] L [\text{km}]}{E_\nu [\text{GeV}]}\right)$$



Oscilações Neutrinos

- a probabilidade de oscilação

$$P(\nu_\mu \rightarrow \nu_\tau) = \sin^2(2\theta) \sin^2\left(1.27 \frac{\Delta m^2 [\text{eV}^2] L [\text{km}]}{E_\nu [\text{GeV}]}\right)$$





As of today: Oscillation of 3 massive active neutrinos is clearly the dominant effect:

If neutrinos have mass: $|\nu_l\rangle = \sum U_{li} |\nu_i\rangle$

For 3 Active neutrinos.

Flavor (e, μ, τ)

Mass 1,2,3

$$U_{li} = \begin{pmatrix} U_{e1} & U_{e2} & U_{e3} \\ U_{\mu1} & U_{\mu2} & U_{\mu3} \\ U_{\tau1} & U_{\tau2} & U_{\tau3} \end{pmatrix}$$

Pontecorvo-Maki-Nakagawa-Sakata matrix

(Double β decay only)

$$= \begin{pmatrix} 1 & 0 & 0 \\ 0 & c_{23} & s_{23} \\ 0 & -s_{23} & c_{23} \end{pmatrix} \cdot \begin{pmatrix} 1 & 0 & 0 \\ 0 & 1 & 0 \\ 0 & 0 & e^{-i\delta} \end{pmatrix} \cdot \begin{pmatrix} c_{13} & 0 & s_{13} \\ 0 & 1 & 0 \\ -s_{13} & 0 & c_{13} \end{pmatrix} \cdot \begin{pmatrix} c_{12} & s_{12} & 0 \\ -s_{12} & c_{12} & 0 \\ 0 & 0 & 1 \end{pmatrix} \cdot \begin{pmatrix} 1 & 0 & 0 \\ 0 & e^{-i\alpha_2/2} & 0 \\ 0 & 0 & ? e^{-i\alpha_3/2+i\delta} \end{pmatrix}$$

Atmospheric, Accel.

CP Violating Phase

Reactor, Accel.

Solar, Reactor

Majorana CP Phases

where $c_{ij} = \cos \theta_{ij}$, and $s_{ij} = \sin \theta_{ij}$

Range defined for $\Delta m_{12}, \Delta m_{23}$

For two neutrino oscillation in a vacuum: (a valid approximation in many cases)

$$P(\nu_\mu \rightarrow \nu_e) = \sin^2 2\theta \sin^2 \left(1.27 \frac{\Delta m^2 L}{E} \right)$$

MSW

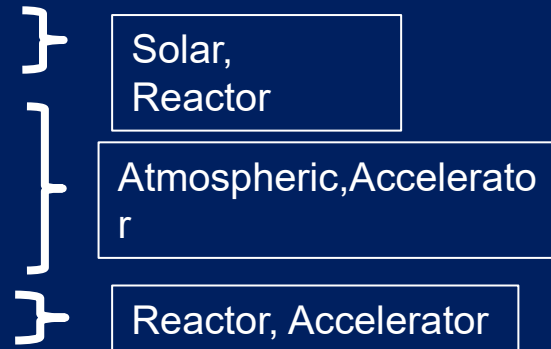
Interactions with high electron density can influence the process in the sun and the earth

From A. McDonald talk at Neutrino 2024

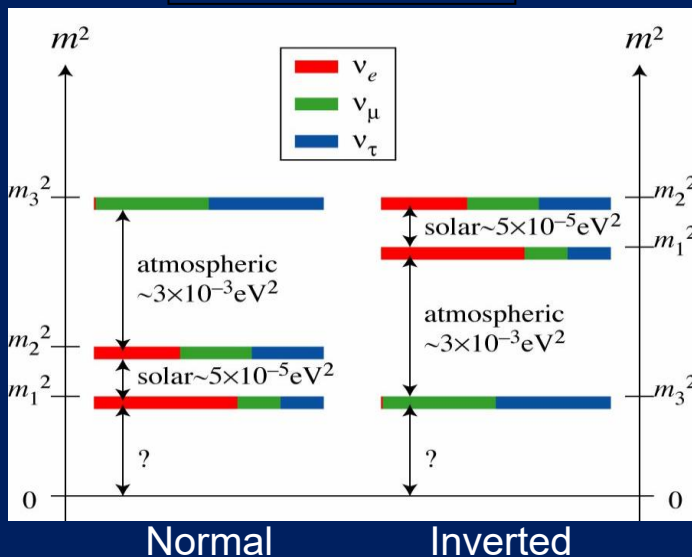
SUMMARY OF OSCILLATION RESULTS FOR THREE ACTIVE ν TYPES

Particle Data Group

$$\begin{aligned} \sin^2(\theta_{12}) &= 0.307 \pm 0.013 \\ \Delta m_{21}^2 &= (7.53 \pm 0.18) \times 10^{-5} \text{ eV}^2 \\ \sin^2(\theta_{23}) &= 0.539 \pm 0.022 \quad (S = 1.1) \quad (\text{Inverted order}) \\ \sin^2(\theta_{23}) &= 0.546 \pm 0.021 \quad (\text{Normal order}) \\ \Delta m_{32}^2 &= (-2.536 \pm 0.034) \times 10^{-3} \text{ eV}^2 \quad (\text{Inverted order}) \\ \Delta m_{32}^2 &= (2.453 \pm 0.033) \times 10^{-3} \text{ eV}^2 \quad (\text{Normal order}) \\ \sin^2(\theta_{13}) &= (2.20 \pm 0.07) \times 10^{-2} \end{aligned}$$



Mass Hierarchies

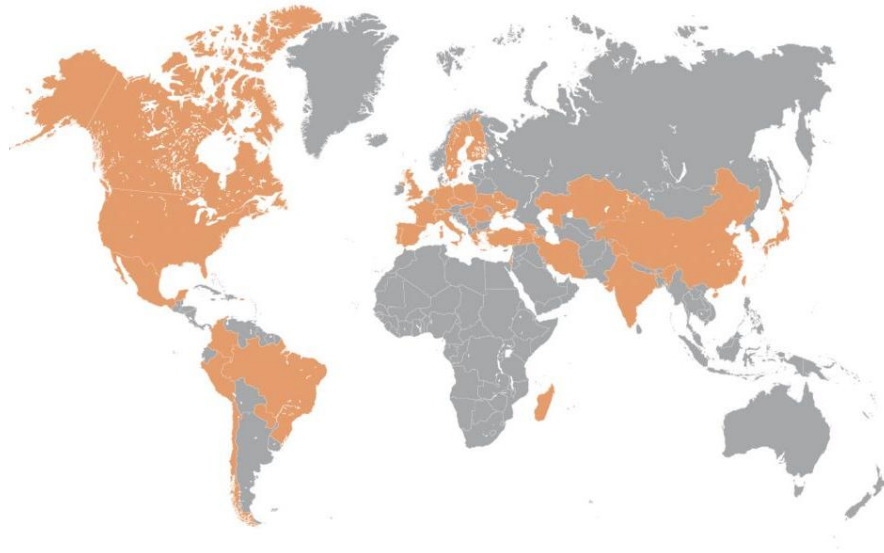


Future objectives:

- δ_{CP}
 - $\theta_{23} \text{ max?}$
 - Hierarchy?
 - Majorana ν ?
 - Absolute mass
 - Sterile ν ?
- Accelerator, Reactor, Atmospheric
- $0\nu\beta\beta$, Cosmology, Electron spectrometers,
- Accelerator, Reactor, Atmospheric

DUNE Collaboration

March 2025



Countries → 39

Members → 1760

Latin America → 85 +

Institutions → 249

Latin America → 28 +

DUNE: scientific program

Fundamental questions still open in particle and astroparticle physics:

Physics of neutrino oscillation:

- ✓ CP violation in the lepton sector (related to matter-antimatter asymmetry)
- ✓ Mass hierarchy
- ✓ Precision oscillation physics to test the 3-flavor paradigm

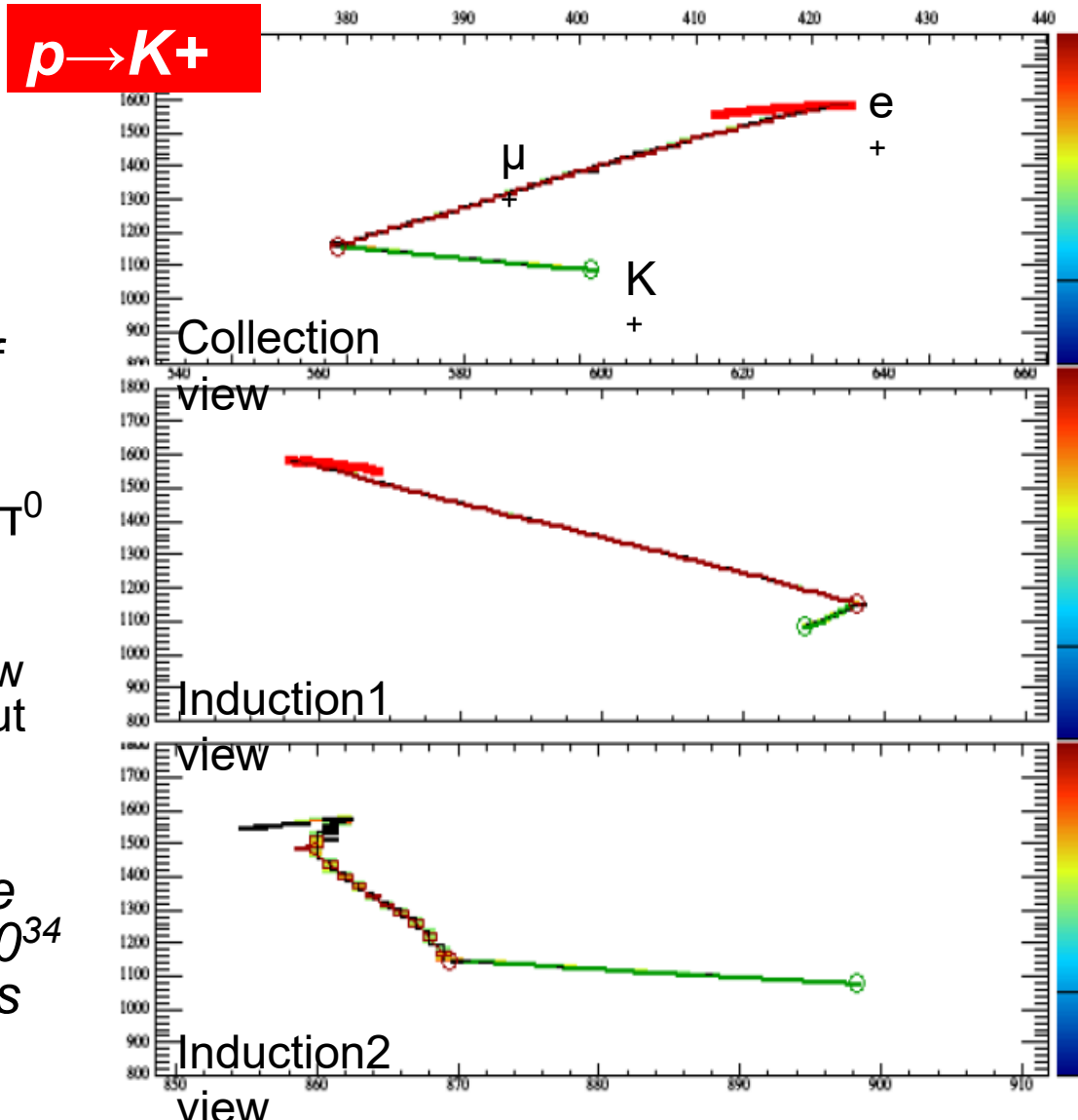
Nucleon decay

- ✓ Predicted beyond Standard Model theories [but not yet seen]
- ✓ for example, the favored mode of SUSY models: $p \rightarrow K^+ \bar{\nu}$

Physics and astrophysics of supernova explosion

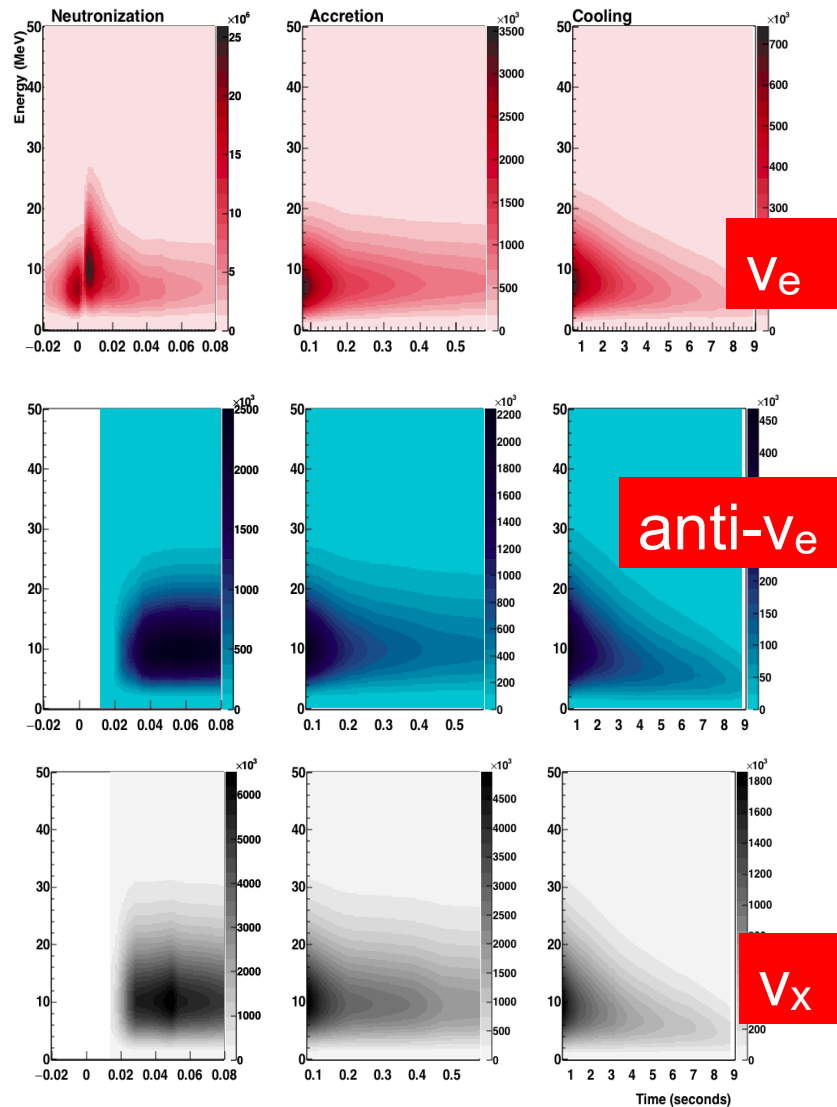
Proton Decay

- The DUNE FD will be highly sensitive **to several possible nucleon decay modes** complementing the capabilities of *large water detectors*
- GUT models present two benchmark decay modes, $p \rightarrow e + \pi^0$ and $p \rightarrow K + \nu$ (*dominant in most SUSY models*)
 - In $p \rightarrow K + \nu \Rightarrow$ kaon is typically below Cherenkov threshold in a water, but easily identified by its distinctive dE/dx signature in a LarTPC
- *A lower limit on the proton lifetime in the $p \rightarrow K + \nu$ channel of 1.3×10^{34} years can be reached in ten years*

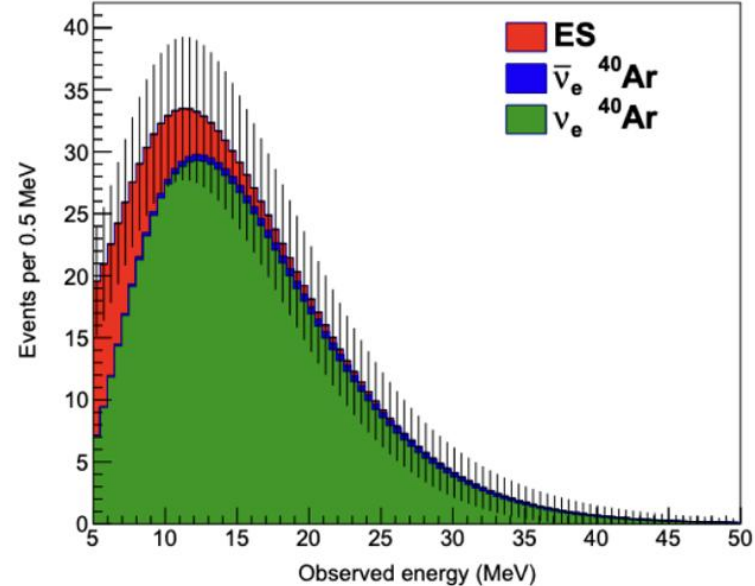
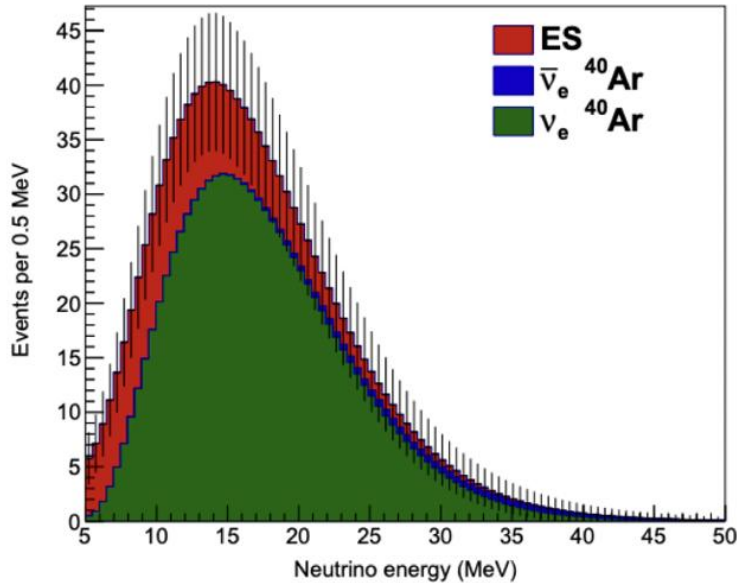


SuperNova neutrinos

- DUNE Far Detector will be sensitive to neutrinos from *around 5 MeV to a few tens of MeV* => CC interactions of neutrinos in this range create ***few cm electron tracks in liquid argon***
- DUNE is primarily sensitive to ν_e => *unique capability among existing and proposed supernova neutrino* (typically sensitive to anti- ν_e through IBD)
 - $\nu_e + {}^{40}\text{Ar} \rightarrow e^- + {}^{40}\text{K}^*$
- ***Possibility to observe the peak of neutronization***



Expected Supernova burst signal



40 kton LAr & 10 kpc SN
 "Garching model"
 Computed with SNOwGLoBES

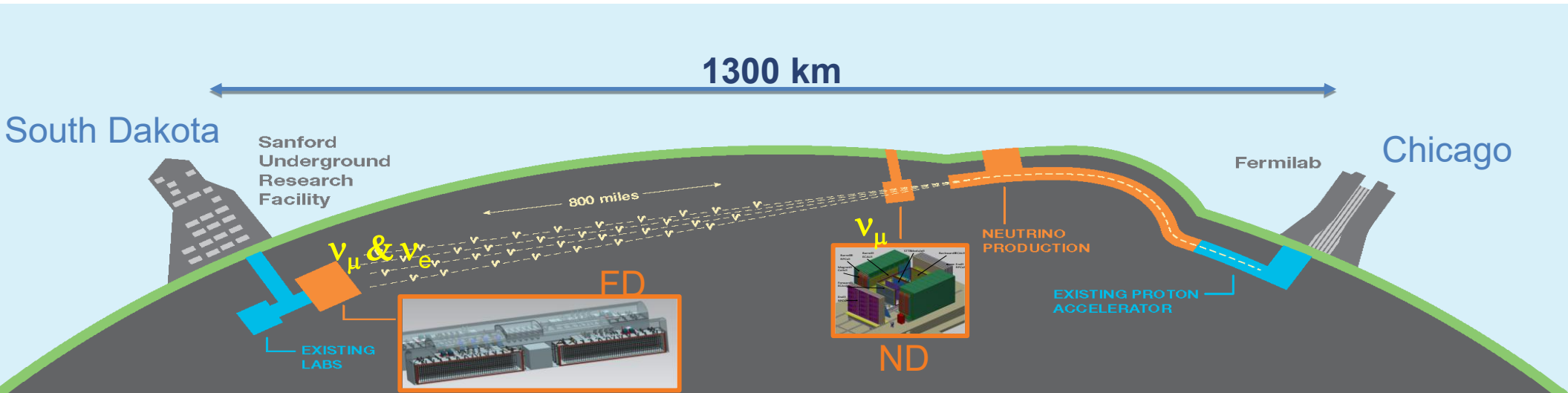
| Channel | Garching |
|---|----------|
| $\nu_e + {}^{40}\text{Ar} \rightarrow e^- + {}^{40}\text{K}^*$ | 882 |
| $\bar{\nu}_e + {}^{40}\text{Ar} \rightarrow e^+ + {}^{40}\text{Cl}^*$ | 23 |
| $\nu_X + e^- \rightarrow \nu_X + e^-$ | 142 |
| Total | 1047 |

[EPJC 81 \(2021\) 423](#)

DUNE – Deep Underground Neutrino Experiment

O **DUNE** consiste de:

1. Um intenso feixe (**MW**) de neutrinos produzido no Fermilab.
2. Um detector próximo ao feixe – Fermilab
3. Detector subterrâneo de (**70,000 t**) de massa - SURF, South Dakota
(4 módulos de 10kton de massa ativa cada; single phase e dual phase)
1. Uma grande **colaboração internacional** (mais de **1000** pesquisadores em mais de **32** países)

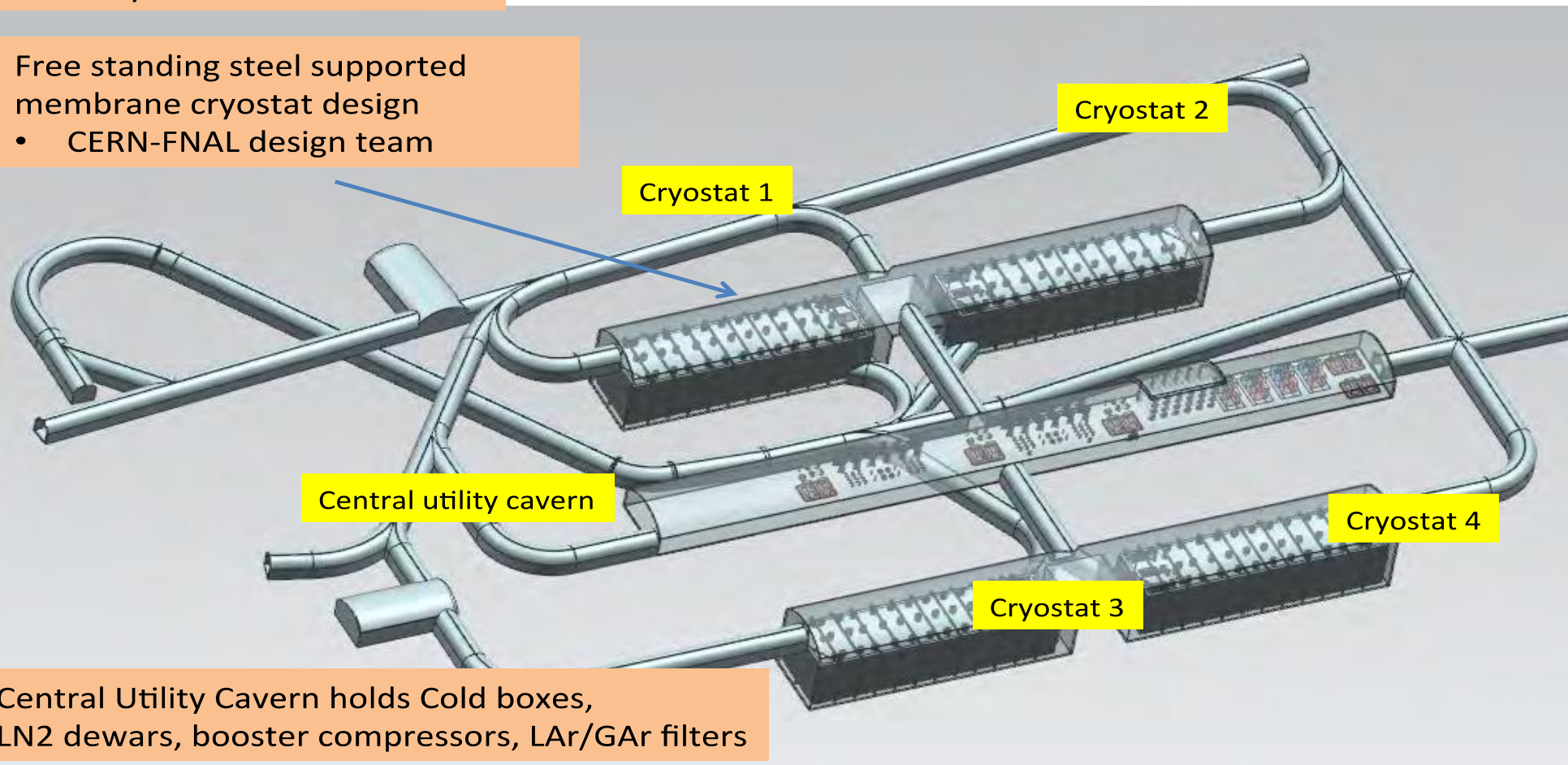


Far Detector – Cryostat / Cryogenic Systems Layout

Each Cryostat holds 17.1kt LAr

Free standing steel supported membrane cryostat design

- CERN-FNAL design team



Central Utility Cavern holds Cold boxes, LN2 dewars, booster compressors, LAr/GAr filters

Construindo DUNE



- Cavernas prontas!
- Infraestrutura pronta no começo do 2026
- Criostato a caminho... Instalação 2026
- Detectores começam instalar em 2026-2027
- Aragon liquido em 2028
- Fisica com raios cósmicos em 2029
- Fisica com feixe de neutrinos em 2031



Liquid argon Time Projection Chamber

Partículas carregadas em LAr produzem **elétrons de ionização** livres e luz de cintilação (128 nm)

Os **elétrons de ionização** derivam em um campo elétrico intenso e uniforme (~ 500 V/cm) em direção aos planos de fio de leitura

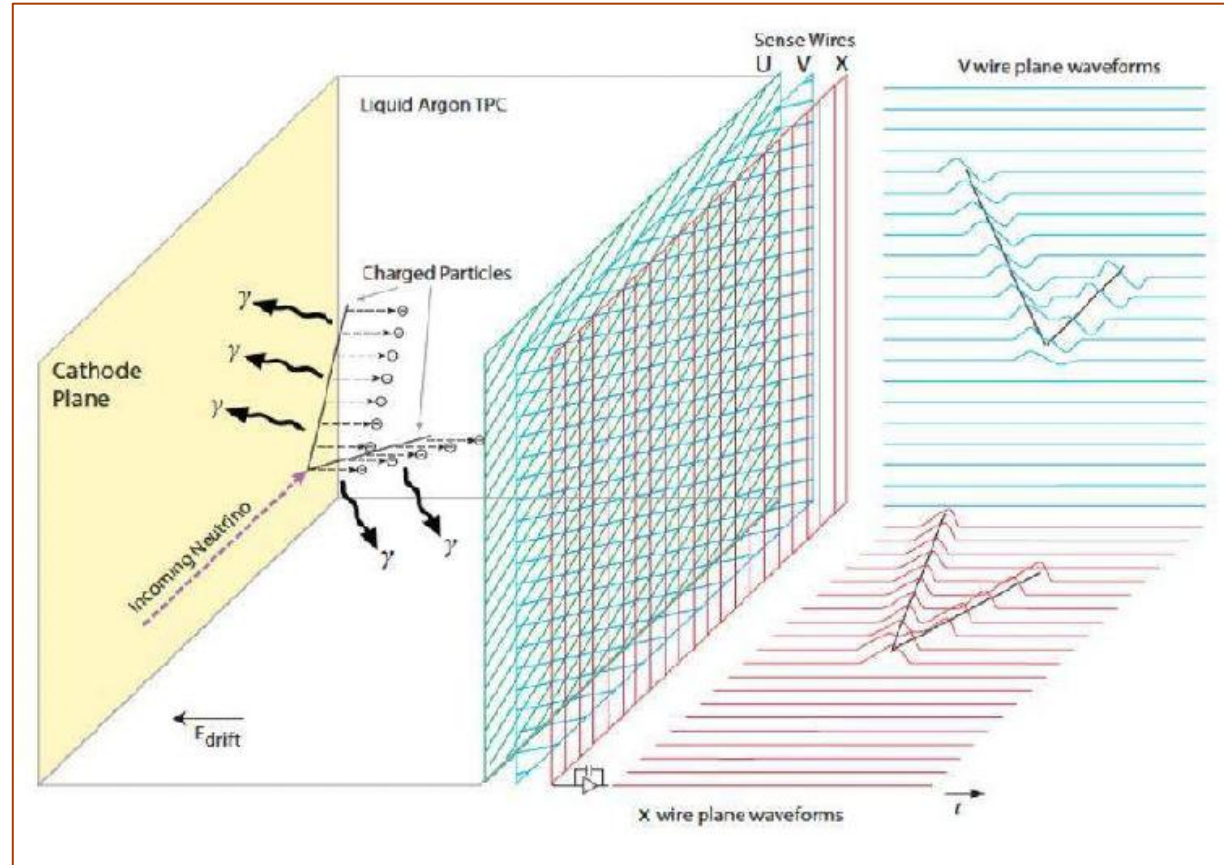


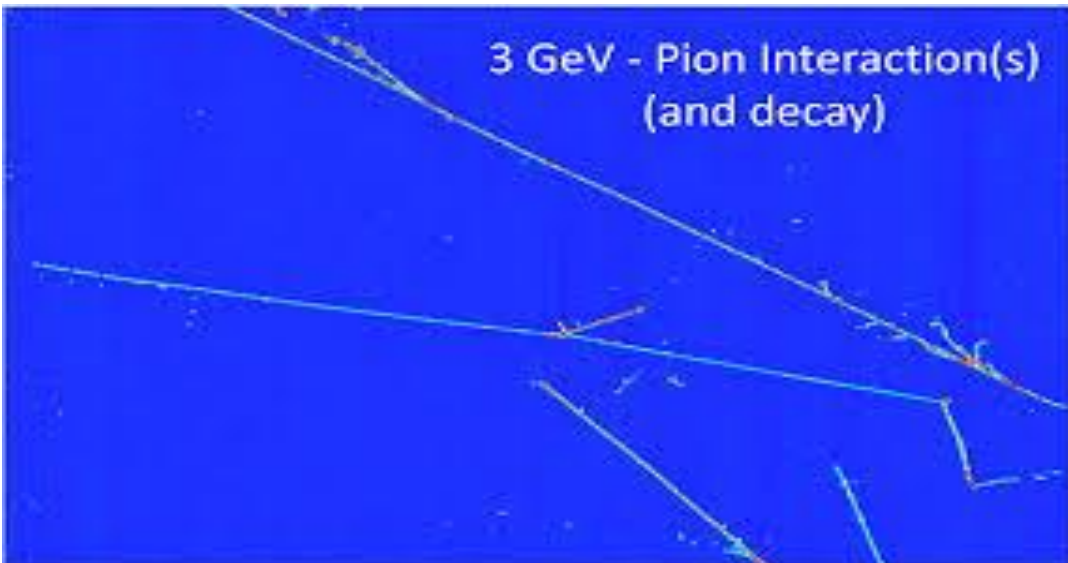
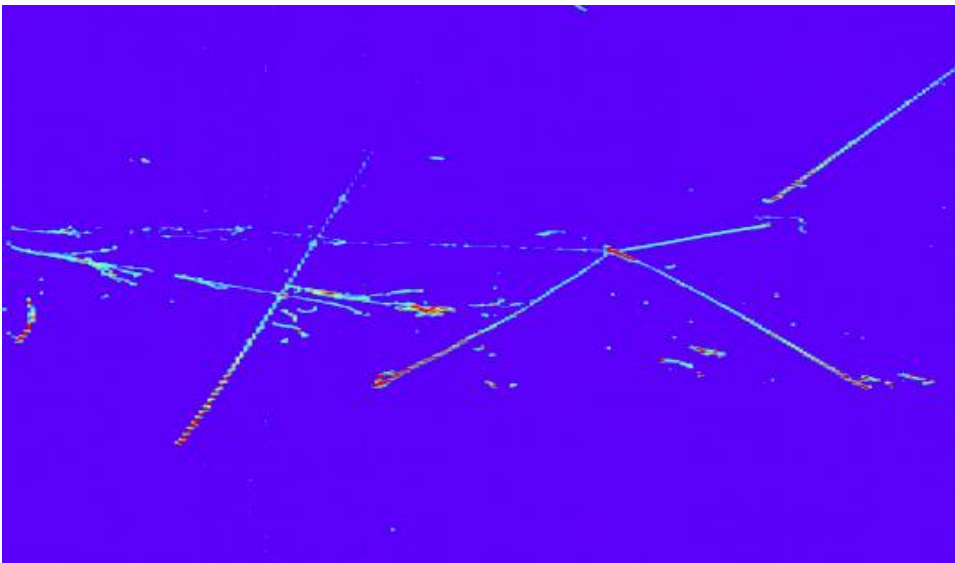
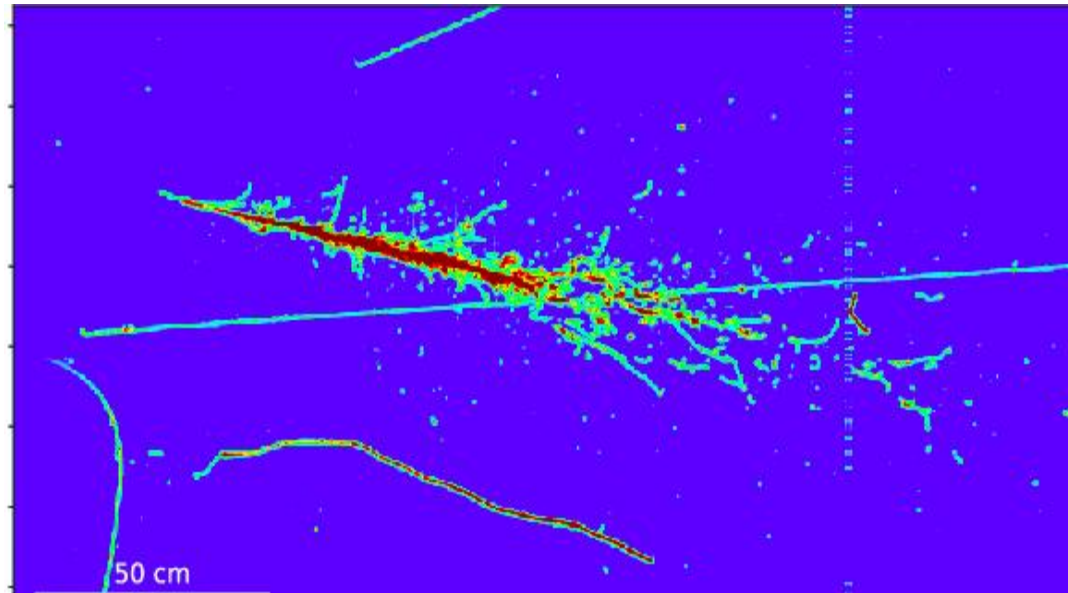
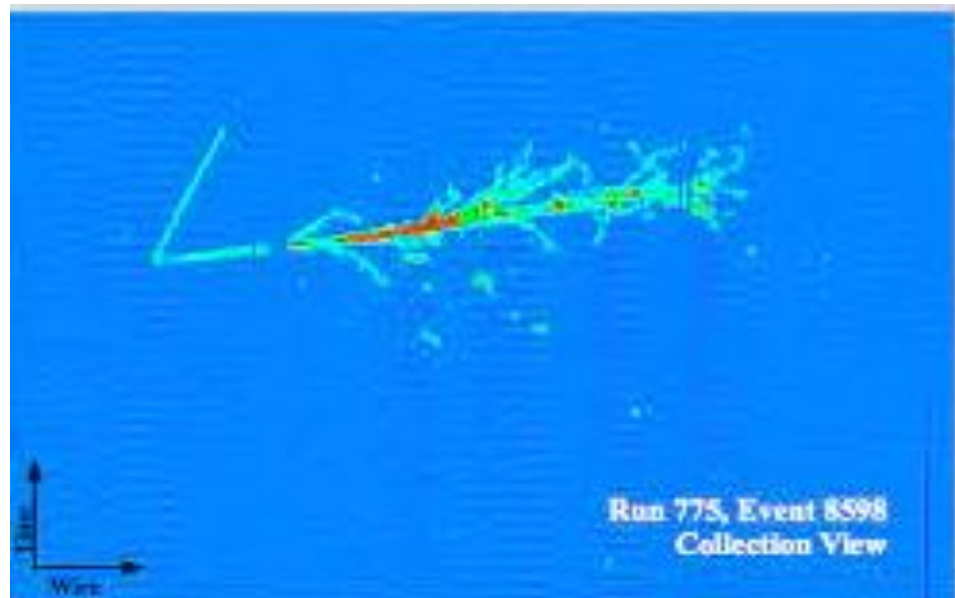
Reconstrução 3D
+
Medidas Calorimétricas

Os **fótons VUV** se propagam e são transformados em fótons VIS

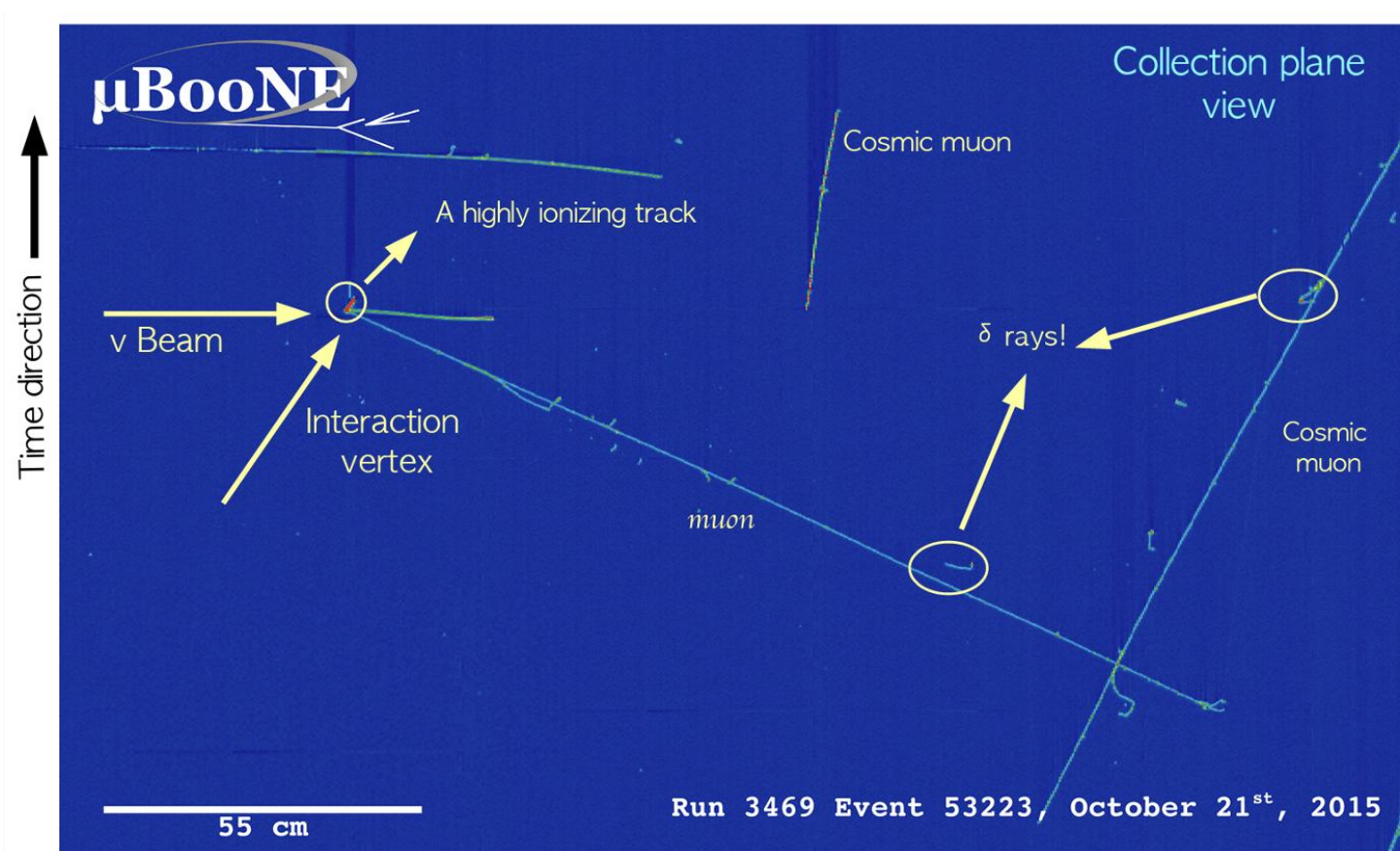


Determinação t_0
+
Medidas Calorimétricas



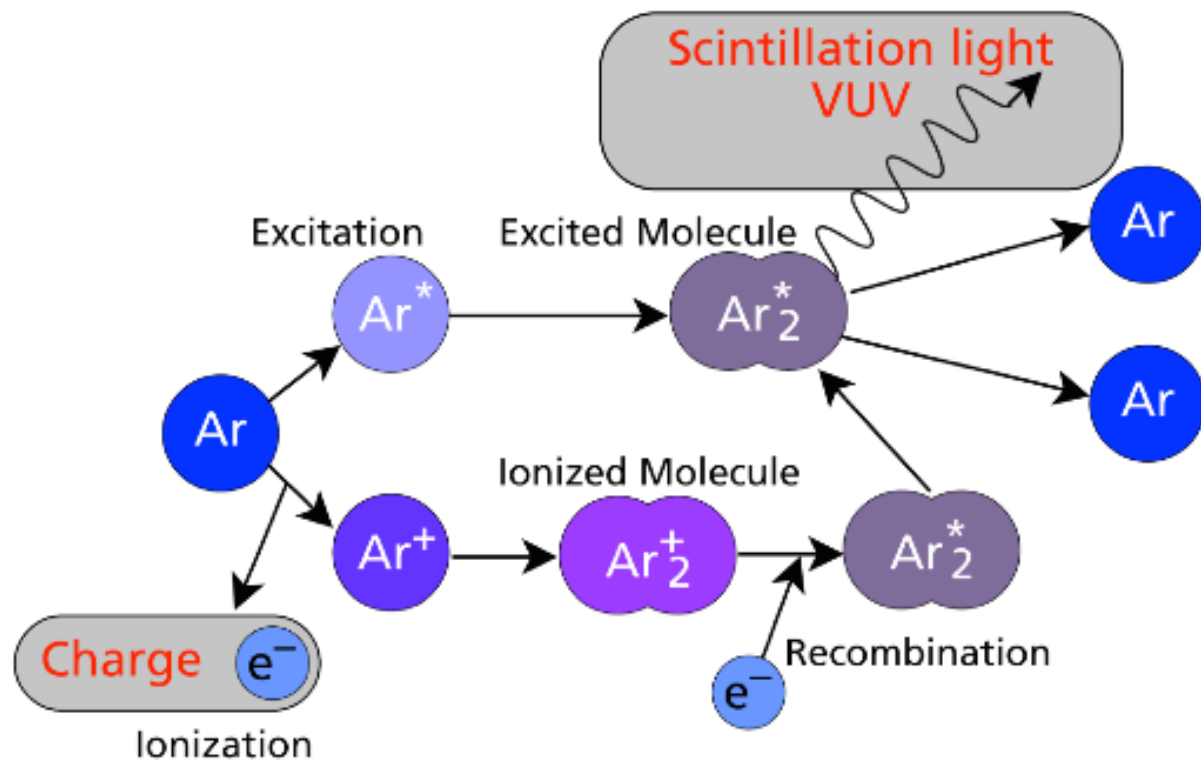


Neutrino interaction



Slide: Sowjanya Gollapinni

A Luz dos neutrinos

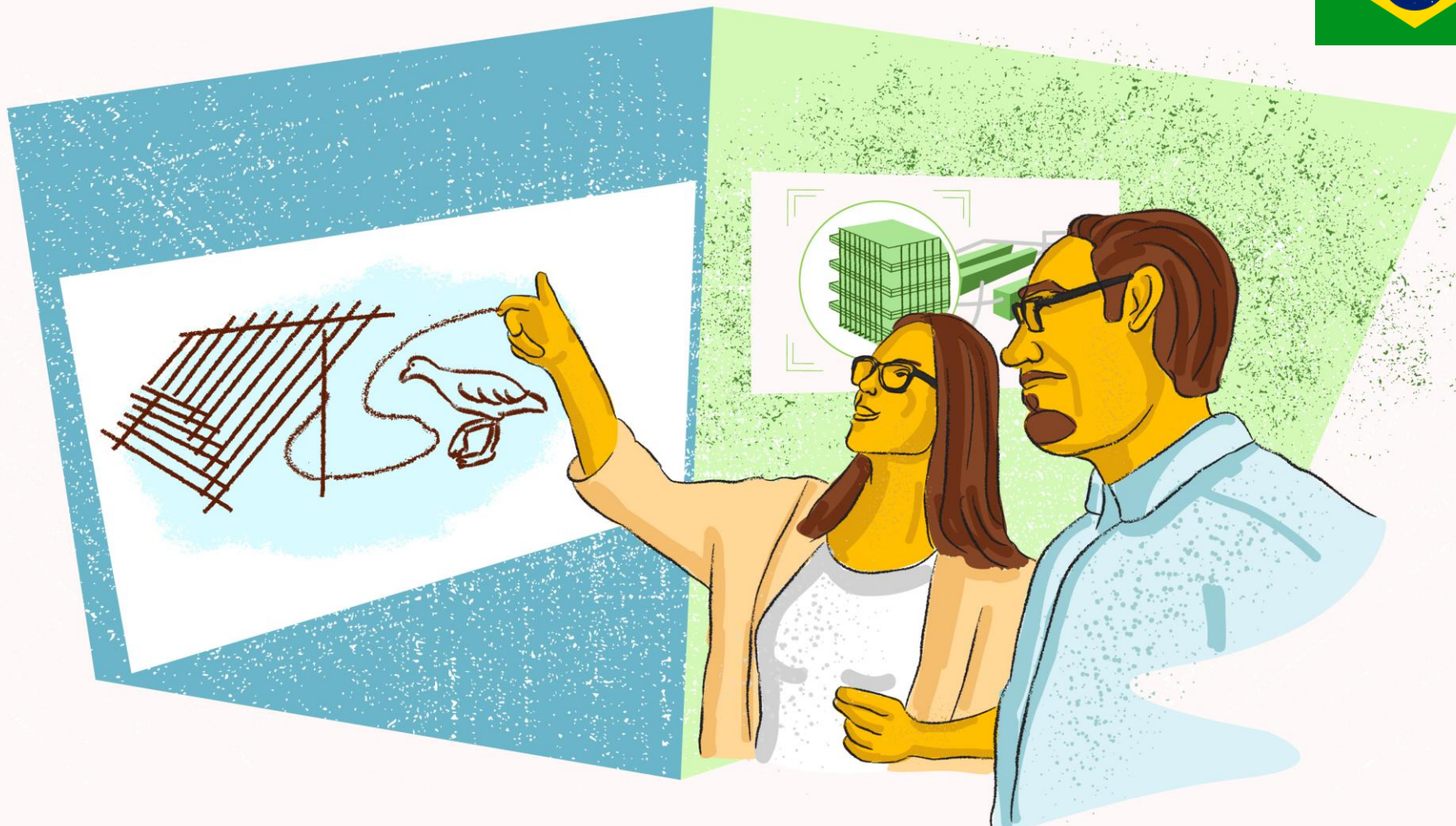


Em cada interação é produzida uma grande quantidade de luz

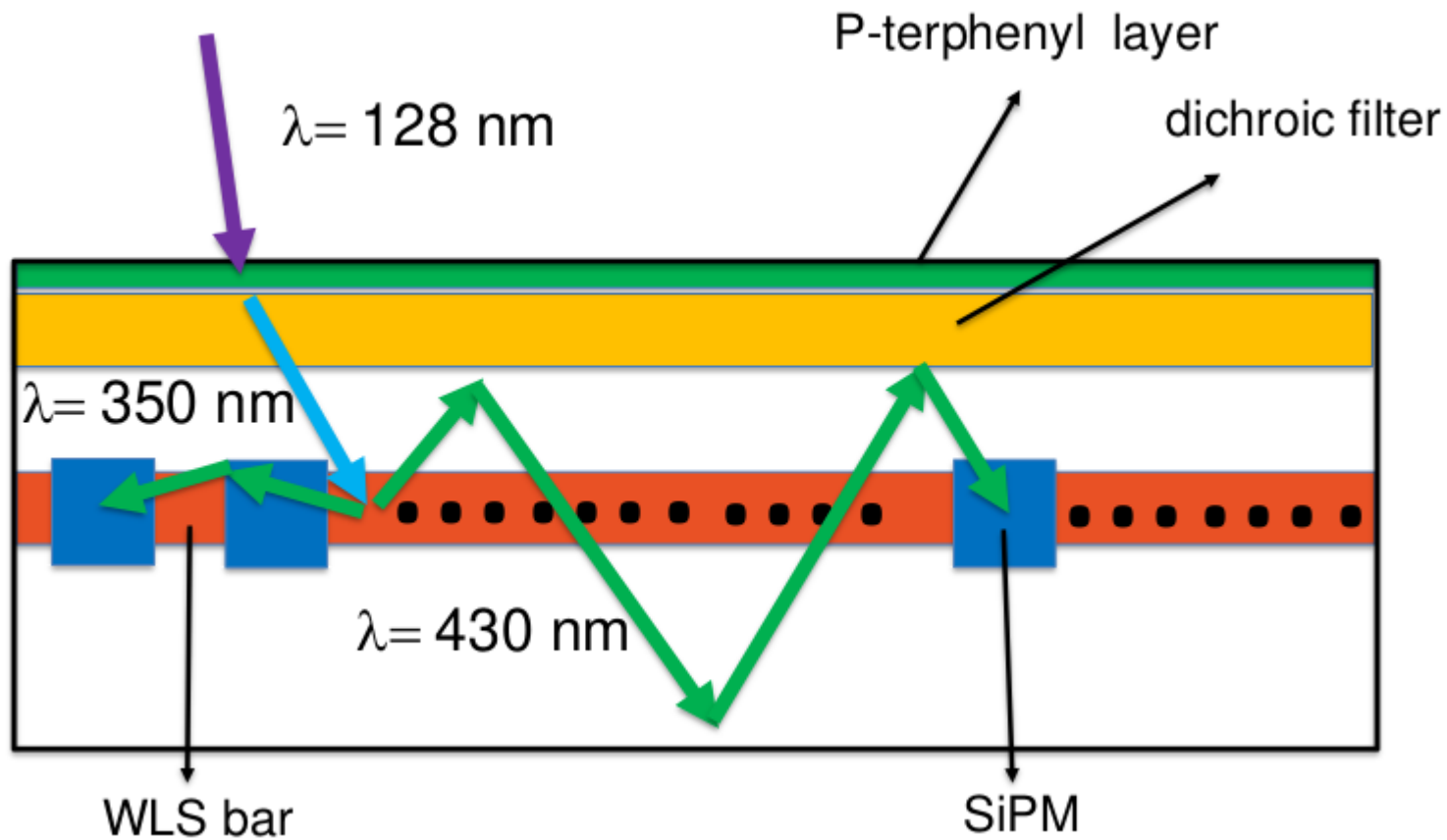
Detectar esta luz é muito importante e nos dá informações sobre a energia, tipo partícula que interagiu e tempo exato da interação

Nos (braileiros e latino americanos) tivemos a ideia de capturar esta luz em uma armadilha para detectá-la com mais facilidade e eficiência

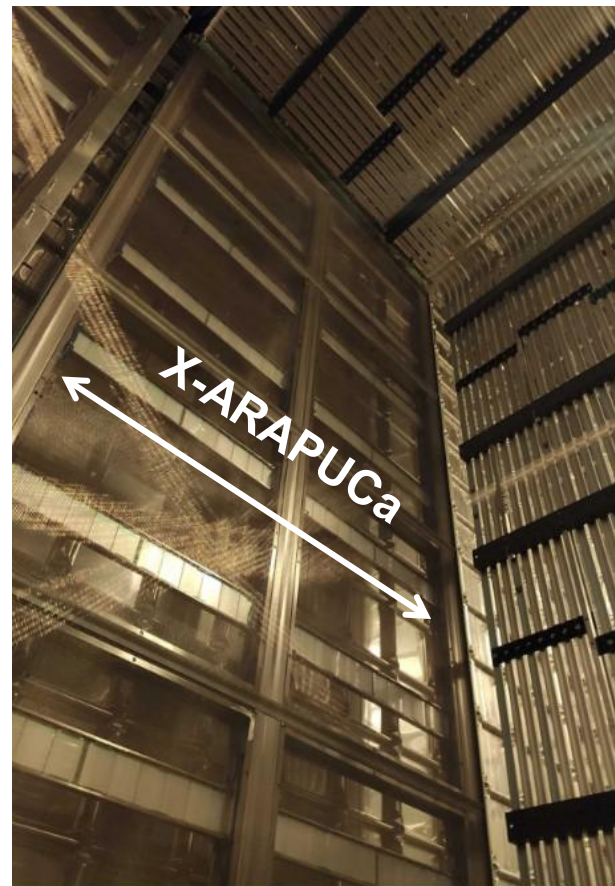
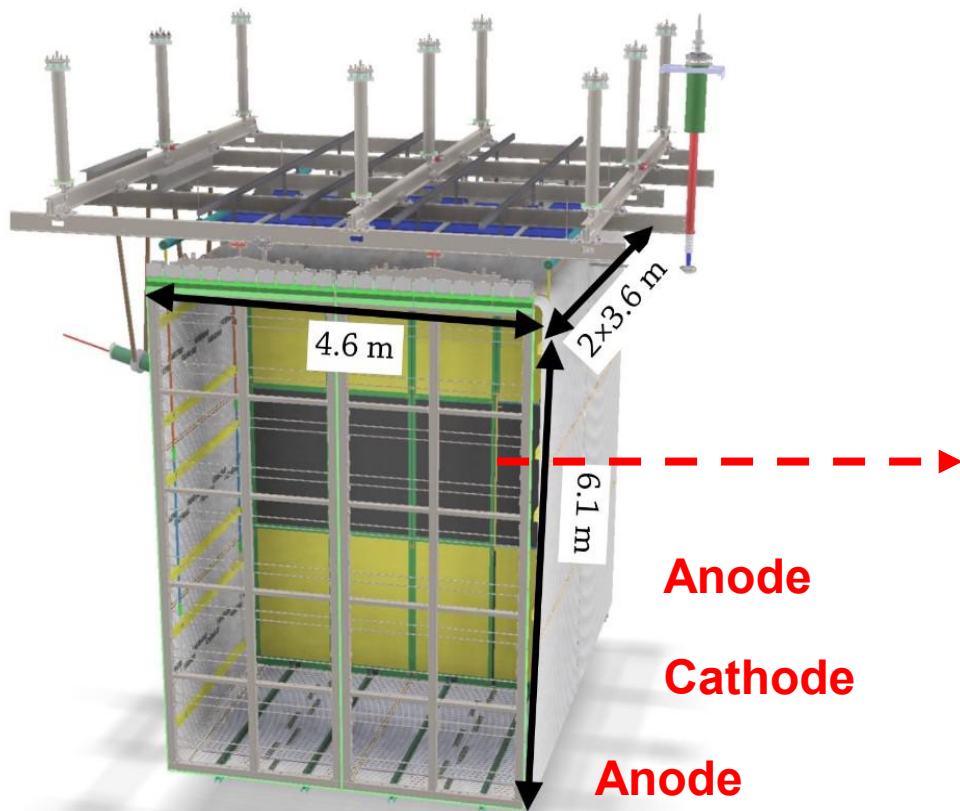
ARAPUCA para neutrinos!



ARAPUCA!



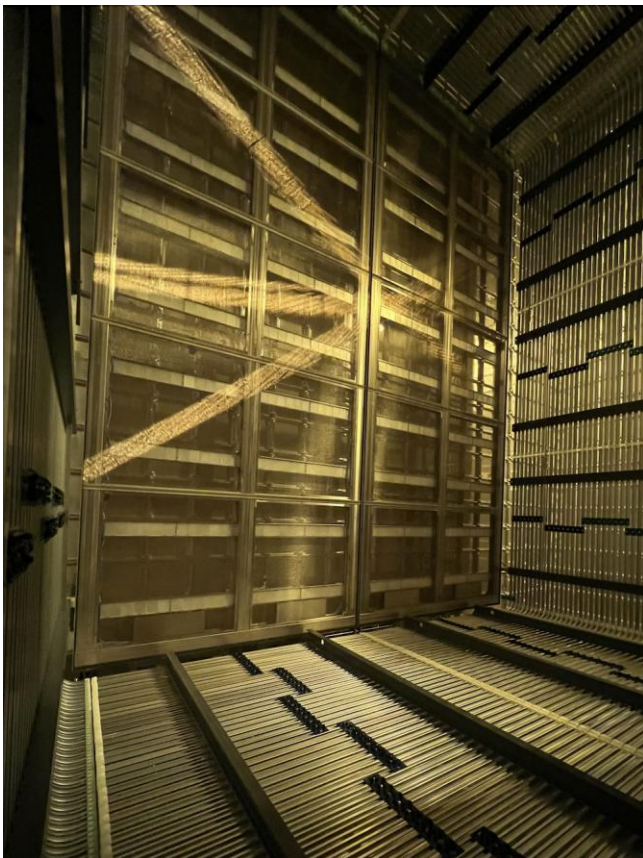
ProtoDUNE-HD no CERN



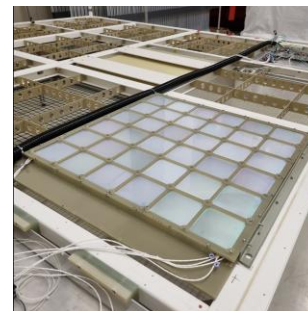
40 modulos de X-ARAPUCAs 200 x 10 cm²
Pre-montados no Laboratorio de Leptons@UNICAMP

X-APRAUCA em protoDUNE

2024/2025

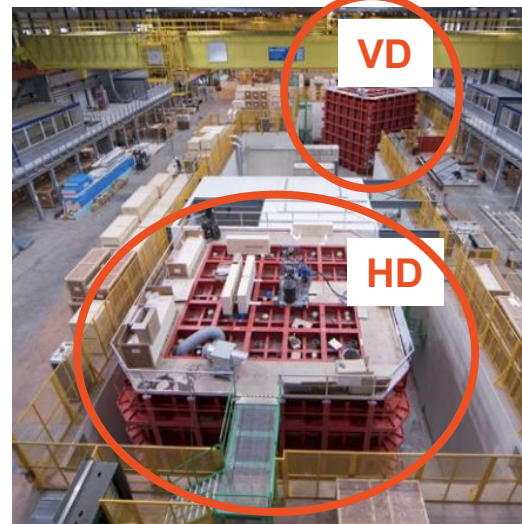


- Foram instalados 40 módulos de X-ARAPUCA em 4 APA, cada modulo e composto por 4 super células no ProtoDUNE HD.
- SiPM (Hamamatsu e FBK)
- Barras guias de luz (Eljen e Glass2Power).
- Todos os filtros OPTO



ProtoDUNE VD esta em fase de comissionamento

- X-ARAPUCA Megacell instaladas no catodo e na membrana.
- SiPM (Hamamatsu e FBK)
- Barras guias de luz (Glass2Power).
- Filtros: ZAOT e Photon Export



Todos os filtros das X-ARAPUCAs de ambos os protótipos foram evaporados no Laboratório de Léptons na UNICAMP

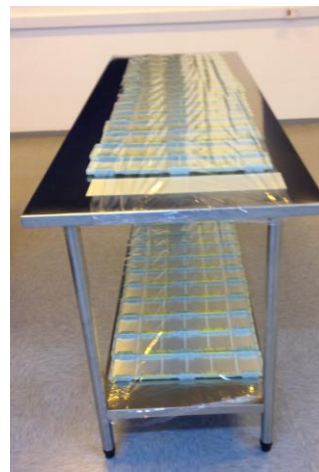
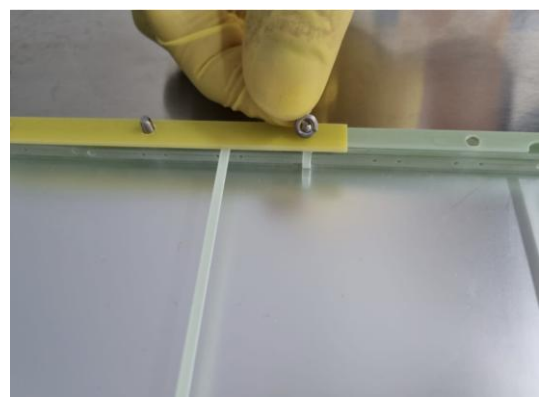
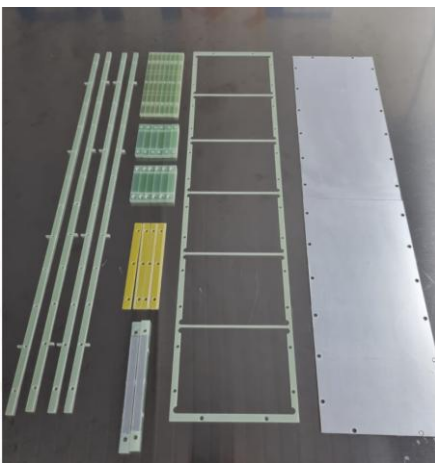
ProtoDUNE HD está em fase de análise de dados

Courtesy A. Machado

60



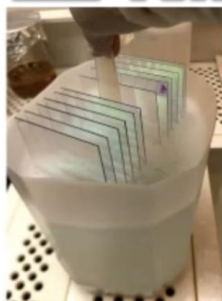
200 supercelulas foram produzidas no Brasil e pre-montadas na UNICAMP



Courtesy A. Machado



LAB.
LEPTONS



DUNE
DEEP UNDERGROUND
NEUTRINO EXPERIMENT

1400 filtros dicroicos
Produzidos pela empresa
brasileira OPTO.

Limpeza dos filtros com água de
ionizável foi realizada pelo CTI
(Brasil) - M.C.Bazetto
e V. Pimentel



1100 filtros foram evaporado na
evaporadora da sala limpa do
Laboratório de Léptons na
Unicamp

Desenvolvemos também o
desenho e produção das caixas
de transporte para os filtros.

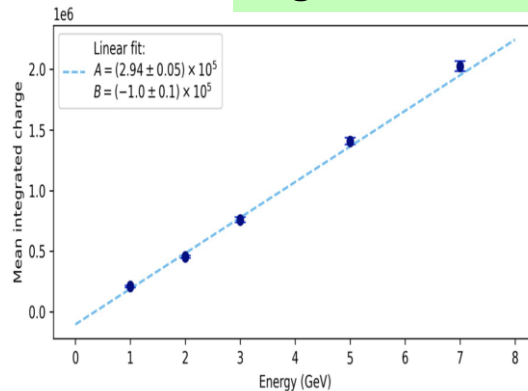


ProtoDUNE-HD performance

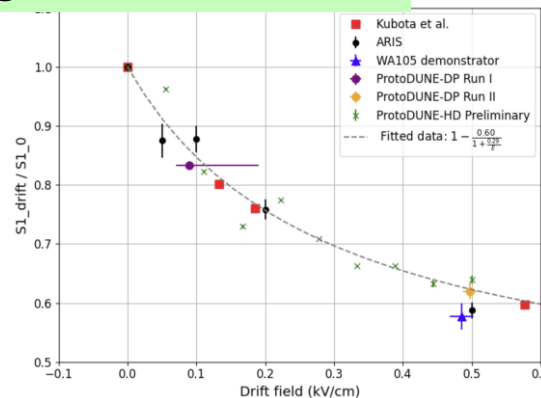
X-ARAPUCA efficiency



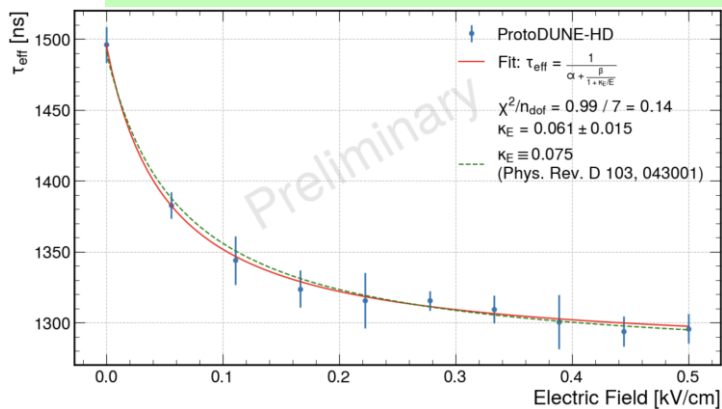
Light vs. beam energy



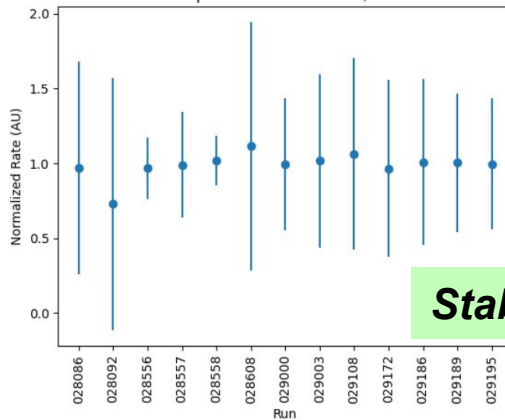
Light Yield vs. E field



Decay time scint. light vs. E field



Rates Comparison -1GeV - APA 2, channel 21

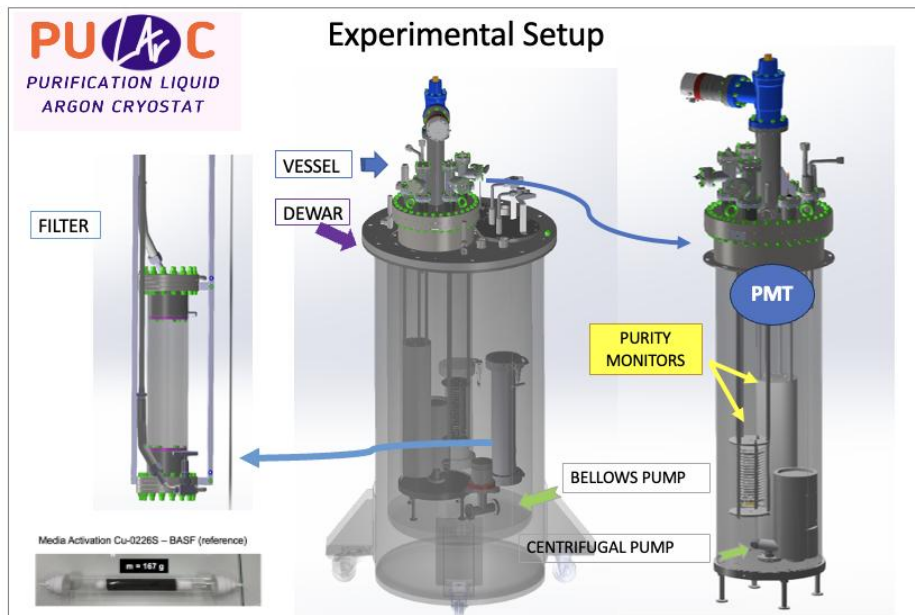


Stability of the response

X-ARAPUCA em DUNE

- A ARAPUCA, desenvolvida na UNICAMP e com a colaboração de muitos colegas Brasileiros e Latino Americanos foi escolhida pela Colaboração DUNE como o sistema de detecção de luz do Far detector. Um dos maiores detectores de partículas nunca construído;
- Em 2025 começará a construção das X-ARAPUCAs para o Far Detector no laboratório de Leptons da UNICAMP;
- Será construídos 1,500 módulos. A maioria das componentes será fornecida por empresas Brasileiras. Outras componentes serão recebidas da Europa e dos EUA.
- As X-ARAPUCAs serão enviadas para o Dakota do Sul para a instalação.

LAr purification system – Phase 1



Maximum allowed contamination

Oxygen < 50 PPT

Nitrogen < 1 PPM

Purificação do LAr

N₂ Contamination

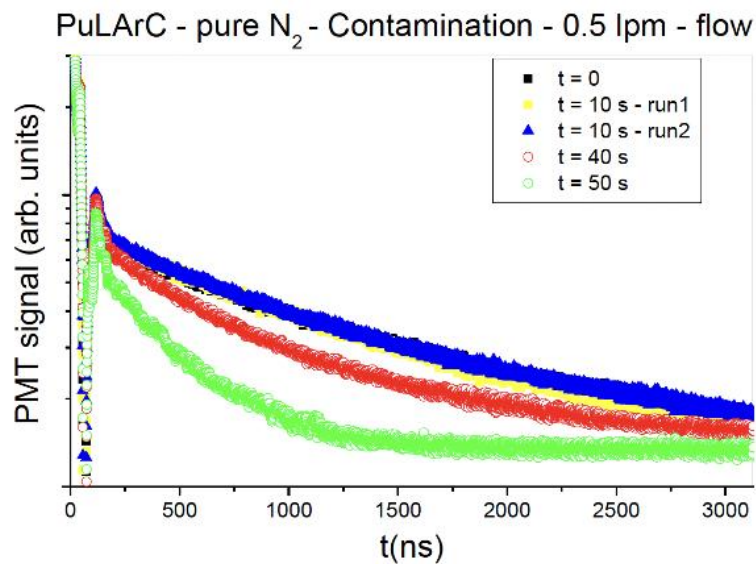
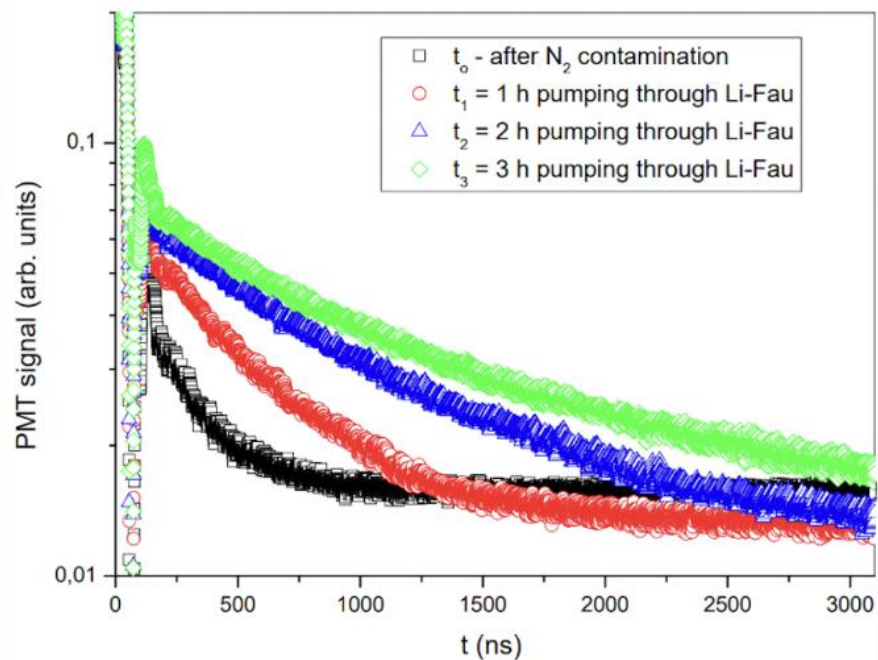


Figure 5. LAr scintillation light PMT signal as a function of time during the N₂ contamination.

N₂ Purification



Phase 2: Budget

Total: 45MUS\$ (225MR\$)

(3-4 year) 36 MUS\$ - Y24

and Y25 – LBNF-DUNE

Main Partners and Funding:

- FAPESP: Funding Agency for São Paulo State (Sept 01, 2024)
- FINEP: Financial Agency for Studies and Projects (Federal) – Approved - Contract Signing.

Partners 9 MU\$:

- Fermilab;
- Unicamp;
- Akaer;

Institutional Support:

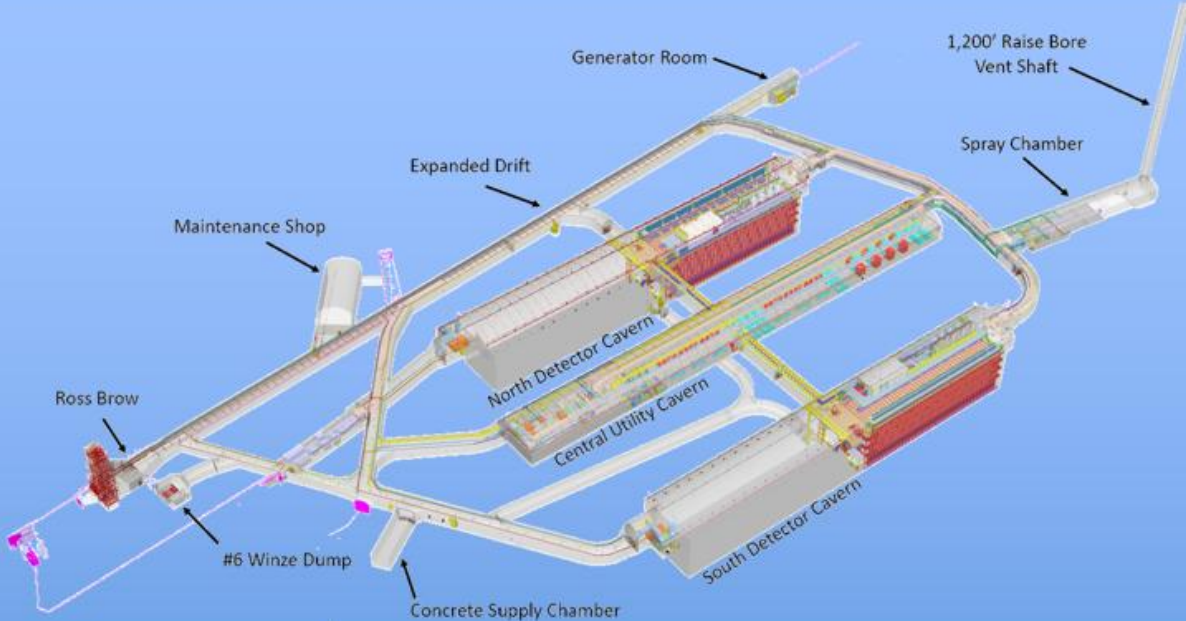
Ministry of Foreign Affairs – Itamaraty,
Federation of Industry of the State of São Paulo (FIESP-SP)
Industry Innovation Center of São Paulo State (SENAI-SP)



Unprecedented scientific and technological opportunity to Brazil academia and industry that will reverberate for decades

Direct impact on society: Phase 1 involved more than **20 companies** – possibility of R&D Transfers to O&G industry, gas purification for medical usage, optoelectronic devices, large-scale filters, Dewars and low-T equipment.

DOE Project Scope – Far Site - Unicamp-SP-Brazil - In-kind contribution to LBNF-DUNE



At the far site, the LBNF project scope includes committed critical in-kind contributions from:



CERN – Membrane cryostats and portions of argon receiving facility (tanks)



Brazil/UNICAMP – Argon purification and recirculation systems



Switzerland/SERI – Argon condensing system



Poland/WUST – Internal cryogenics systems

| WBS/Subproject | Scope |
|--|--|
| 131.FSCFEXC/FSCF-Excavation | Project management, preliminary and final design, reliability/infrastructure upgrades, pre-excavation systems, and excavation work to support 4 detector modules. |
| 131.FSCFBSI/FSCF-Building & Site Infrastructure | Project management, preliminary and final design, and construction of surface and underground utilities, and infrastructure outfitting of spaces for detector modules. |
| 131.FDC/Far Detectors and Far Site Cryogenic Infrastructure | DUNE-US contributions to two DUNE detector modules; two cryostats & associated liquid argon; cryogenic systems to support two detector modules; installation and integration for two detector modules and cryogenic infrastructure |

and the DUNE international collaboration, consortia, and partners.



Thank you to all our partners!

Phase 2

Engineering Research Center



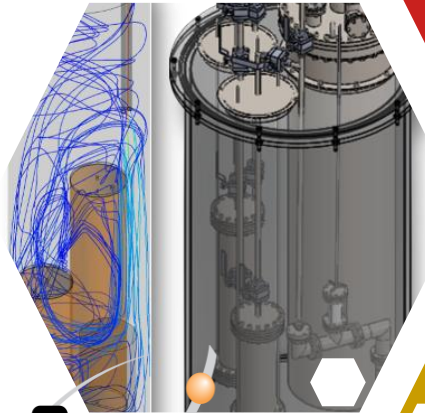
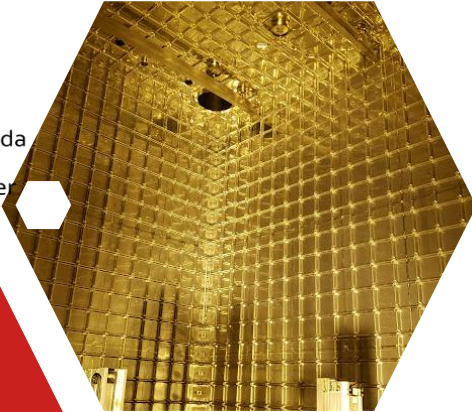
Centro de
Tecnologia da
Informação
Renato Archer



UNICAMP



**Scientific
Development**
X-ARAPUCA:
Photon
Detection
system
optimization



Engineering
LNBF/DUNE:
Large
Equipment
R&D and
Engineering



Research
Innovative
Media, Fluid
dynamics
Studies, and
PuLArC
Operation



CNPEM

USP



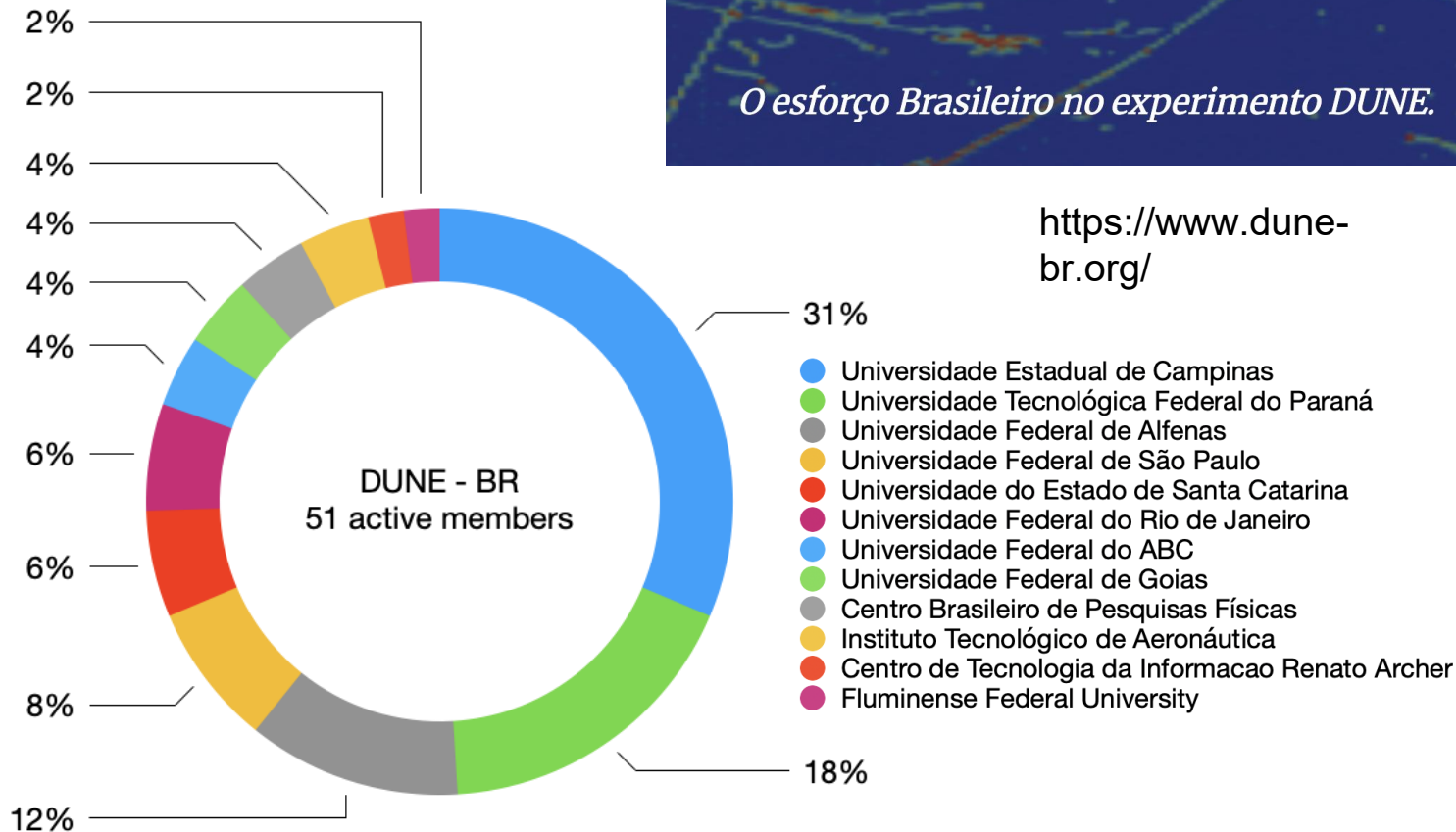
Equatorial
Sistemas



EMERSON



DUNE - BR



Obrigado pela atenção!



